UNIVERSITÉ DE LILLE

50376 1964 1

FACULTÉ DES SCIENCES

Tree do west

CENTRE DE 3° CYCLE D'ÉLECTRONIQUE

THÈSE DE 3° CYCLE

Sur une méthode impulsionnelle de mesure des paramètres d'un domaine de relaxation dielectrique



Membres du Jury : M. GABILLARD, Président

M. LEBRUN, Examinateur

M. LIEBAERT, Examinateur

Présentée à Lille le 29 Février 1964

par

F. BLIOT

UNIVERSITE DE LILLE

FACULTE DES SCIENCES

Doyens honoraires : MM. H. LEFEBVRE. P. PRUVOST

Professeurs honoraires: MM. ARNOULT, BEGHIN, BROCHARD, CAU,
CHAPELON, CHAUDRON, CORDONNIER, DEHEUVELS,
DEHORNE, DOLLE, FLEURY, P. GERMAIN,
KOURGANOFF, LAMOTTE, LELONG, Mme LELONG,
MM. MAZET, A.MICHEL, NORMANT, PARISELLE,
PASCAL, PAUTHENIER, ROIG, ROSEAU, ROUBINE,
WIEMANN, ZAMANSKY.

Doyen: M. PARREAU, Professeur de Mathématiques

Assesseur : M. DURCHON, Professeur de Zoologie

<u>Professeurs</u>: MM. BERKER, Mécanique des Fluides BACCHUS, Astronomie

BONNEMAN-BEMIA, Chimie et Physico-chimie industrielles

BONTE, Géologie appliquée BOUISSET, Physiologie animale

Mlle CHAMFY, Mathématiques MM. CORSIN, Paléobotanique

DECUYPER, Mathématiques

DEFRETIN. Biologie maritime

N..... Analyse supérieure et calcul des probabilités

DEHORS, Physique industrielle

DELATTRE, Géologie

DELEAU, Géologie

DESCOMBES, Calcul différentiel et intégral

GABILLARE, Radioélectricité et électronique

GERMAIN, Chimie générale et chimie organique

GLACET, Chimie

GONTIER, Mécanique des Fluides

HEIM DE BALSAC, Zoologie

HEUBEL, Chimie minérale

HOCQUETTE, Botanique générale et appliquée

KAMPE DE FERIET. Mécanique des Fluides

LEBEGUE, Botanique

LEBRUN, Radioélectricité et électronique

LEFEBVRE, Chimie appliquée

Mlle LENOBLE, Physique MM. LUCQUIN, Chimie minérale LURCAT, Physique MARION, Chimie Mlle MARQUET, Mathématiques MM. MARTINOT LAGARDE, Mécanique des Fluides MAUREL, Chimie MENESSIER, Géologie MONTREUIL, Chimie biologique PEREZ. Physique PHAM MAU QUAN, Mécanique rationnelle et expérimentale POITOU. Algèbre supérieure ROUELLE, Professeur de Physique et Electricité industrielle SAVART, Chimie générale SCHALLER, Zoologie TILLIEU, Physique TRIDOT, Chimie VIVIER, Zoologie

Maitres de conférences :

MM. AVARGUES, détaché à l'énergie atomique BECART, Physique BOILLET, Physique BOURIQUET, Botanique CELET, Géologie DELHAYE, Chimie HENNEQUIN, Physique HERZ, Mathématiques HUARD DE LA MARRE, Calcul numérique LACOMBE. Mathématiques LINDER, Botanique MONTARIOL, Chimie Mlle NAZE, Mathématiques MM. POLVECHE, Géologie POUZET. Mathématiques PROUVOST, Géologie SCHILTZ, Physique

WATERLOT, Géologie et Minéralogie

WERTHEIMER, Physique

Chargés d'enseignement :

M. BLANCHART, Chimie appliquée et chimie de la houille Mlle GOUSSELAND, Physique M. LIEBART, Radioélectricité

Secrétaire :

Mme BOUCHET.

A MES PARENTS

A MA FEMME

Ce travail a été réalisé au Laboratoire de Radioélectridité et Electronique de la Faculté des Sciences de Lille.

Nous tenons à remercier ici Monsieur le Professeur GABILLARD, Directeur de ce Laboratoire, qui nous a confié ce travail et qui nous a constamment guidé et conseillé.

Nous exprimons également nos remerciements à Monsieur le Professeur LEBRUN, qui s'est vivement intéressé à notre étude et qui nous a fait bénéficier de ses précieux conseils et suggestions.

Nous remercions également Monsieur LIEBAERT, Maitre de Conférences, pour l'intérêt qu'il a témoigné à notre égard.

Que tous nos camarades de Laboratoire, pour la sympathie qu'ils nous ont témoignée et l'aide qu'ils nous ont apportée, veuillent bien trouver ici l'expression de notre reconnaissance.

INTRODUCTION

Dans l'étude des dièlectriques, un domaine de relaxation est déterminé par son amplitude $K = \frac{\xi_c - \xi_\infty}{\xi_\infty}$, par sa fréquence critique f_c et par sa fonction de distribution.

Les méthodes classiques de mesure de la permittivité complexe ξ^* nécessitent, pour obtenir les paramétres K et f_c l'éxécution de toute une série de mesures fréquence variable, (depuis $f_c/100$ jusque $100f_c$ environ).

Nous présentons ici une méthode qui permet de déterminer directement, au moyen d'une seule mesure, K, f_c et la conductibilité $\mathcal T$ pour un dièlectrique possédant un seul domaine d'absorption de type Debye.

Cette méthode est basée sur la comparaison des répenses à une impulsion rectangulaire :

- a) de la cellule contenant le dièlectrique
- b) d'un circuit équivalent formé de résistances et de capacités. Les valeurs des élèments du circuit b) sont ajustées jusqu'à ce que le comparateur donne un signal de sortie nul.

On peut déduire directement K, f_c et la conductibilité G des valeurs de ces élèments.

Dans une première partie nous exposons le principe de la méthode, en étudiant principalement un schéma de composants électriques (résistances capacités) équivalent à un dièlectrique et la réponse du comparateur.

Dans la seconde partie, nous décrivons la réalisation expérimentale du comparateur, en donnant quelques indications sur la précision possible de la détermination des différents élèments et sur les difficultés rencontrées.

Dans la troisième partie, nous donnons un exemple d'application, en étudiant les différents paramétres d'un mélange de sable et d'eau, en fonction de la saturation en eau.

I - METHODE DE DETERMINATION DES PARAMETRES CARACTERIS

I) SCHEMA ELECTRIQUE EQUIVALENT A UN DIELECTRIQUE

Pour un dièlectrique ne présentant qu'un seul domaine de relaxation de type Debye et pouvant en plus présenter une conductibilité (indépendante de la fréquence), on peut trouver les élèments d'un dipole passif qui lui est équivalent.

L'admittance d'entrée d'une cellule remplie de dièlectrique de permittivité camplexe $\xi^* = \xi' - j (\xi'' + \xi'')$ est:

$$Y_1 = G_0 + j\omega (C_0 + C_a \stackrel{*}{\epsilon})$$

où:

Go: conductance résiduelle de la cellule (pratiquement nulle)

Co: capacité résiduelle de la cellule

Ca: capacité active de la cellule (supposée constante).

En développant:

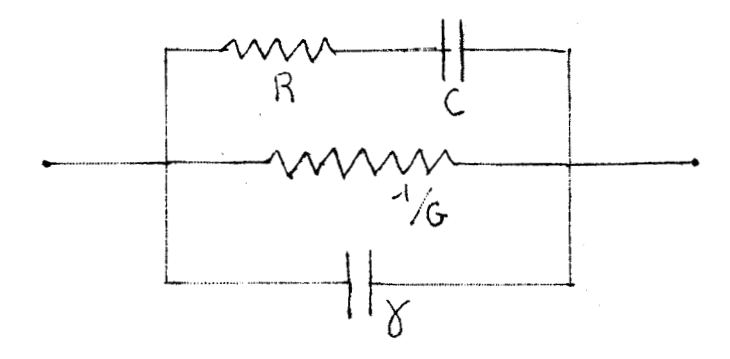
$$Y_1 = G_0 + \omega C_a (\xi^{11} + \xi^{11}) + j\omega (C_0 + C_a \xi^{1})$$

Le terme $\xi^{''}$ représente les pertes par relaxation dièlectrique et le terme $\xi^{''}$ représente les pertes par conductivité.

La conductibilité \(\) du matériau est d'ailleurs rattachée à \(\epsilon^{17} \) par la relation:

$$\mathcal{E}_{\mathcal{F}}^{1} = \frac{\nabla}{\omega \, \mathcal{E}_{\mathcal{O}}}$$

Pour trouver le schéma électrique équivalent, on peut identifier la cellule remplie de dièlectrique au dipôle suivant :



L'admittance présentée par un tel dipôle est :

$$Y_2 = G + C = \frac{\omega^2 c}{1 + \omega^2 c^2} + j \omega (\zeta + \frac{C}{1 + \omega^2 c^2})$$

où: $\zeta = RC$

En identifiant Y₁ et Y₂ on a les relations :

$$\xi' = \frac{\chi - Co}{C_a} + \frac{C}{C_a} + \frac{1}{1 + \omega^2 \tau^2}$$
 (I-I)

$$\xi'' + \xi''_{G} = \frac{G - G_0}{\omega C_a} + \frac{C}{C_a} \frac{\omega \tau}{1 + \omega^2 - \zeta^2}$$
 (I-2)

Or, pour un dièlectrique ne présentant qu'un seul domaine de relaxation de type Debye, on a les relations (1) (2)

$$\xi' = \xi_{\infty} + \frac{\xi_0 - \xi_{\infty}}{1 + \omega^2 \tau^2}$$

$$\xi'' = (\xi_0 - \xi_{\infty}) - \frac{\omega \tau}{1 + \omega^2 \tau^2}$$

Éo étant la permittivité statique (basse fréquence) et Ém la permittivité "limite" correspondant aux très hautes fréquences.

En reportant ces valeurs dans les relations (I-I) et (I-2) an a finalement :

$$\xi_{\infty} = \frac{\sqrt[8]{C_0}}{C_a}$$
 (I-3)

$$\mathcal{E}_{\bullet} - \mathcal{E}_{\bullet 0} = \frac{C}{C_{a}} \tag{I-4}$$

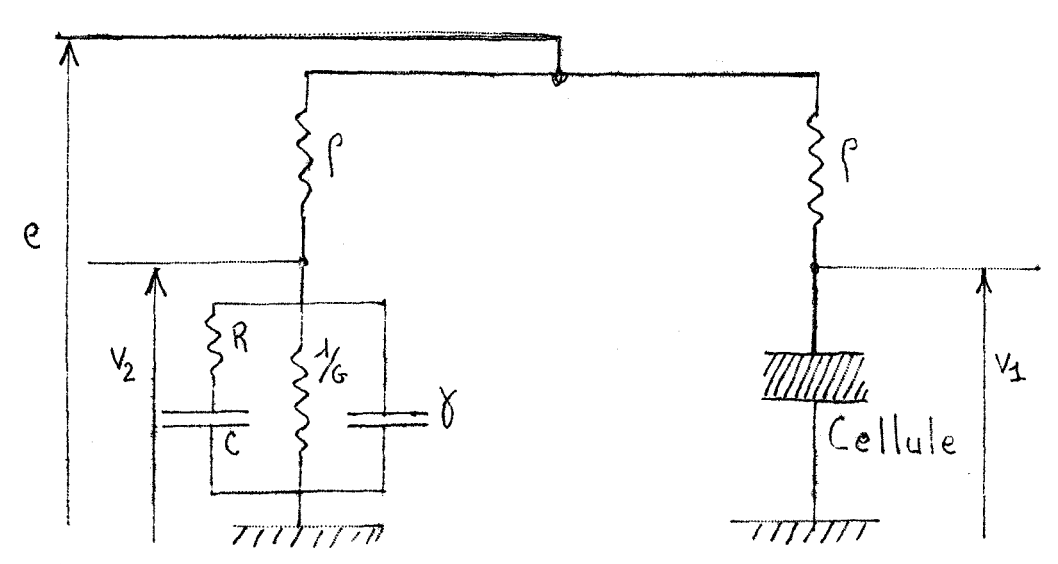
La fréquence critique, fréquence pour laquelle $\frac{\partial \xi''}{\partial f} = 0$ est :

$$f_{c} = \frac{1}{2\pi \gamma} = \frac{1}{2\pi RC} \tag{I-6}$$

Pour un dièlectrique et une cellule donnés, les élèments G, R, C et \ sont uniques et directement liés aux grandeurs qui caractérisent le dièlectrique. Donc, si on peut trouver expérimentalement ces élèments on aura de ce fait des informations concernant le dièlectrique à mesurer. Le but de notre étude est de déterminer rapidement ces élèments avec le plus de précision possible.

2) DETERMINATION EXPERIMENTALE DU DI POLE EQUIVALENT

La méthode utilisée consiste à comparer l'admittance d'entrée présentée par une cellule remplie de dièlectrique à l'admittance présentée par un dipôle étalon dont les élèments sont facilement connus.



Comme l'on veut atteindre au moyen d'une seule mesure les quatre variables (R, C, G et ()) du dipôle équivalent au dièlectrique, il: est évident que l'emploi d'un signal d'excitation sinusoïdal est à exclure, puisqu'il ne permet de différencier que deux variables.

Pour un tel comparateur la condition d'équilibre s'écrit:

$$\triangle \mathbf{v} = \mathbf{v}_1 - \mathbf{v}_2 = 0 \iff \mathbf{Y}_1 = \mathbf{Y}_2$$

Or, si on opére en régime sinusoidal, à une fréquence f donnée, l'admittance inconnue Y₁ s'écrit:

$$Y_1 = G_1 + jB_1$$

et l'admittance Y2:

$$Y_2 = G_2 + jB_2 = G + G' + j (\omega + B')$$

G' et B' étant les composantes paralléles du dipôle série R, C

$$Y_1 = Y_2 \implies \begin{cases} G + G' = G_1 \\ \omega + B' = B_1 \end{cases}$$

Pour chaque couple de valeurs (R, C) tel que :

$$G^{1} \leqslant G_{1}$$
 et $B^{r} \leqslant B_{1}$

On peut trouver un couple (G,) tel que les équations ci-dessus soient satisfaites.

On a donc une infinité de solutions et il est impossible en une seule mesure d'atteindre le dipôle équivalent.

Il est nécessaire pour obtenir ces informations de repérer l'équilibre un certain nombre de fois à des fréquences régulièrement espacées, s'étendant de 0 à l' & .

Le tracé du spectre hertzien permet alors de caractériser le dièlectrique. Par contre si la tension d'excitation n'est plus sinusoidale, mais un signal dont le spectre occupe un large intervalle de fréquences, la solution est alors unique.

En attribuant l'indice I à l'inconnue et l'indice 2 à l'étalon on a alors :

Δ V = .0 si et seulement si:

$$G_1 = G_2$$
 $R_1 = R_2$ $Y_1 = Y_2$

En effet en utilisant les notations du calcul opérationnel:

$$Y_1 = Y_2$$
 \Rightarrow $G_1 + P = X_1 + \frac{pC_1}{1 + pC_1R_1} = G_2 + P = \frac{pC_2}{1 + pC_2R_2}$

soit:

$$(G_1-G_2) + p(\chi_1-\chi_2) + p(\frac{C_1}{1+pC_1R_1} - \frac{C_2}{1+pC_2R_2}) = 0$$

quelque soit la valeur de p .

Il est évident que cette identité n'est possible que si les relations ci-dessus sont vérifiées/

Comme signal d'excitation on utilise une tension dont le spectre en fréquence est aussi riche que possible, en l'occurence des impulsions rectangulaires dont le temps de montée est très bref. Nous verrons page 12 que l'utilisation d'un tel signal n'entraine aucune indétermination.

Pour une tension rectangulaire, le développement en série de Fourier conduit à la décomposition suivante :

$$E(t) = E_0 \left[\frac{1}{2} - \frac{2}{\pi} \sum_{n=0}^{\infty} \frac{2(n+1)\pi}{n+1} t \right]$$
 (1-7)

En fait, le signal n'est pas rigoureusement rectangulaire, le temps de montée étant de 0,02μ sec. Le taux d'harmoniques est de ce fait moins élevé que dans la formule (I-7).

En pratique, l'harmonique 30MHz constitue la limite supérieure utilisable Pour une fréquence de récurrence de 50kHz, cela correspond, en appliquant la formule (I-7), à l'harmonique de rang 600.

Le générateur utilisé (générateur d'impulsions Férisol type 201 A) fournit des impulsions dont le taux de répétition, la largeur et l'amplitude sont largement variables :

- a fréquence de récurrence continuement variable de 10Hz
 - largeur 0,05µsec à 1 msec
 - amplitude 0,067 à 60 volts

De ce fait dans la bande de fréquences où les mesures sont possibles ces paramètres peuvent être choisis de telle sorte que la partie intéressante du domaine de relaxation soit couverte par les hormoniques du signal.

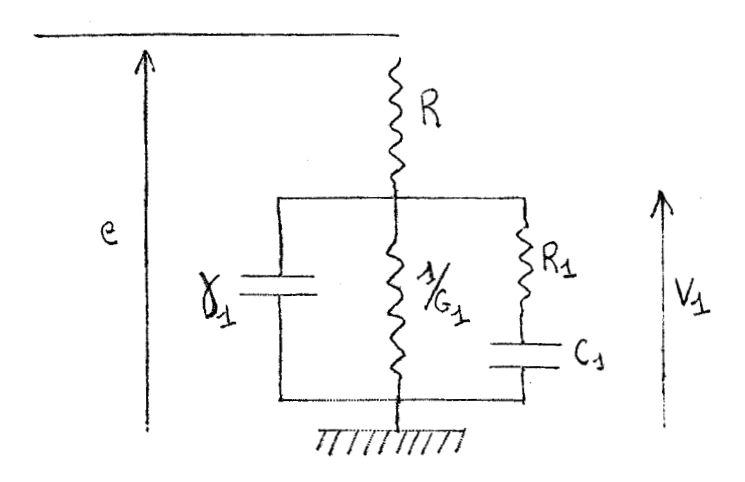
3) ETUDE THEORICUE DE LA REPONSE DU COMPARATEUR

Pour déterminer les variables R, C, G et \langle il faut trouver un équilibre unique, c'est-à-dire obtenir à la sortie du comparateur une tension Δ v = v₁ - v₂ nulle, et cela d'une seule manière possible.

Nous allons montrer que l'observation à l'oscilloscope de la tension Δ v permet de connaître pour chaque variable, le sens du déséquilibre et de ce fait d'ajuster rapidement les élèments variables du circuit équivalent aux valeurs assurant l'équilibre.

a) Mise en équation

Nous utilisons le calcul opérationnel.



en posant:
$$y_1 = G_1 + p \sqrt{1 + \frac{1}{R_1 + \frac{1}{pC_1}}}$$
 $v_1 = e^{-\frac{1}{1 + Ry_1}}$

on a donc:

$$V_1 = e \frac{1}{1 + R \frac{p^2 (1 + R_1C_1 + p((1 + C_1 + R_1C_1G_1) + G_1)}{1 + p C_1R_1}}$$

Pour faciliter les calculs on introduit les paramètres :

Finalement v_1 a pour expression:

$$V_1 = e^{\beta_1} \frac{p + \alpha_1}{p^2 + p(\alpha_1 + \beta_1 + \lambda_1 + \beta_1) + \alpha_1(\beta_1 + \lambda_1)}$$

Le discriminant du dénominateur est :

$$\Delta = (\alpha_1 + \delta_1 + \beta_1 + \lambda_1)^2 - 4 \alpha_1 (\beta_1 + \lambda_1)$$

$$\Delta = S_1^2 + 2S_1(\alpha_1 + \mu_1) + (\alpha_1 - \mu_1)^2 > 0$$

△> ○ ⇒ les racines du dénominateur sont réclles et toutes deux négatives puisque le coefficient de p est positif.

Soient-
$$\alpha'_1$$
 et - α''_1 ces racines, avec 0 $\langle \alpha'_1 \rangle \langle \alpha''_1$

b) Décomposition en élèments simples

Le dénominateur D peut se mettre sous la forme :

$$D = (p + \alpha^{\dagger}_{1})(p + \alpha^{\dagger}_{1})$$

En prenant comme tension d'excitation $e = \frac{E_0}{p}$ (échelon unité)

$$V_{1} = \frac{E_{0}}{p} - \frac{p + \alpha 1}{(p + \alpha^{1}_{1})(p + \alpha^{n}_{1})} = E_{0} \left[\frac{A}{p} + \frac{B}{p + \alpha^{1}_{1}} + \frac{C}{p + \alpha^{n}_{1}} \right]$$

$$A = \left[\frac{p + \alpha \lambda}{(p + \alpha^{1}_{1})(p + \alpha^{n}_{1})} \right]_{p=0} = \frac{\alpha 1}{\alpha^{1}_{1}\alpha^{n}_{1}}$$

$$B = \left[\frac{p + \alpha 1}{p(p + \alpha^{n}_{1})} \right]_{p=-\alpha^{1}_{1}} = \frac{\alpha 1 - \alpha^{1}_{1}}{\alpha^{1}_{1}(\alpha^{1}_{1} - \alpha^{n}_{1})}$$

$$C = \left[\frac{p + \alpha 1}{p(p + \alpha^{1}_{1})} \right]_{\hat{p}=-\alpha^{n}_{1}} = \frac{\alpha 1 - \alpha^{n}_{1}}{\alpha^{n}_{1}(\alpha^{n}_{1} - \alpha^{1}_{1})}$$

or:

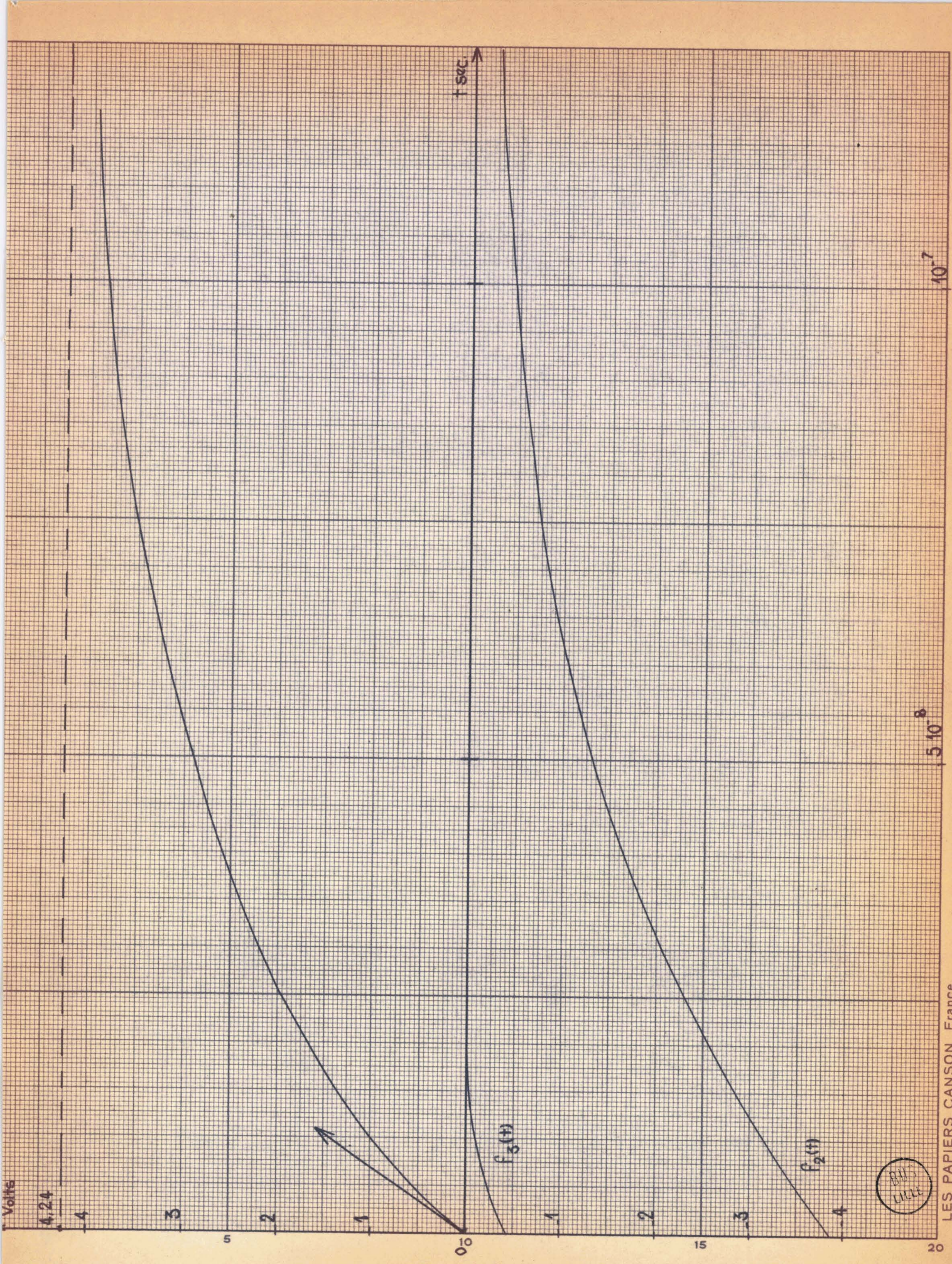
$$\alpha_1 \alpha_1 = \alpha_1 (\beta_1 + \gamma_1) = \alpha_1 \mu_1 \implies A = \frac{1}{\mu_1}$$

On a denc immédiatement la fonction originale :

$$\mathbf{v}_{1}(t) = \mathbb{E}_{0} \quad \frac{\beta_{1}}{\mu_{1}} + \mathbb{E}_{0} \quad \frac{\beta_{1}}{\alpha^{n}_{1} \cdot \alpha^{n}_{1}} \quad \left[\frac{\alpha^{n}_{1} \cdot \alpha_{1}}{\alpha^{n}_{1}} e^{-\alpha^{n}_{1}t} + \frac{\alpha \mathbf{1} \cdot \alpha^{n}_{1}}{\alpha^{n}_{1}} e^{-\alpha^{n}_{1}t} \right]$$

régime permanent

régime transitoire



Dans la deuxième branche où l'on a la cellule remplie de dièlectrique, on prend les mêmes notations avec l'indice 2.

L'information recueillie à la sortie du comparateur $v(t) = v_1(t) - v_2(t)$ est donc parfaitement connue.

Afin de montrer la forme de la réponse, nous avons calculé $\mathbf{v}_1(t)$ dans l'application numérique suivante :

$$M_{1} = 100 \text{pF}$$
 $C_{1} = 50 \text{pF}$ $I/G_{1} = 500 \Omega$ $R_{1} = 200 \Omega$ $R = 680 \Omega$ $E_{0} = 10 \text{V}$

L'expression de v₁(t) est alors :

$$v_1(t) = 4,24 = 3,83 e^{-0,213.10^8}t$$
 = 0,41 e⁻¹,63.10⁸t

Nous avons tracé sur un même graphique:

$$f_1(t) = 4,24$$
 $f_2(t) = -3,83e^{-0,213.10^8}t$ $f_3(t) = -0,41e^{-1,63.10^8}t$ et la courbe résultante $v_1(t)$.

c) Valeurs particulières de \(\Delta v(t) \)

- Valeur à l'origine :

Au temps t = 0, la tension $v_1(t)$ a pour expression:

$$v_1(0) = E_0 \frac{\beta_1}{\mu_1} + \beta_1 E_0 \frac{1}{\alpha''_1 - \alpha'_1} \left[1 - \frac{\alpha 1}{\alpha'_1} + \frac{\alpha 1}{\alpha''_1} - 1 \right]$$

Soit:

$$v_1(o) = \mathbb{E}_o \left(\beta_1 \left(\frac{1}{\mu_1} - \frac{1}{\mu_1} \right) \right) = 0$$

Il en est de même pour v₂(o) et l'on a donc :

$$\triangle v(o) = o$$

- Limite quand t → ∞

En fait, dès que t >> max. $(\frac{1}{\alpha'_1}, \frac{1}{\alpha''_1}, \frac{1}{\alpha''_2}, \frac{1}{\alpha''_2})$ seul le régime permanent est à considérer et physiquement, on peut admettre que $t \not= \infty$. Si on utilise comme signal d'excitation une impulsion rectangulaire, il suffit que sa largeur 7 soit suffisante.

Le régime permanent s'écrit :

$$\Delta V(\infty) = E_0 \left(\frac{\beta_1}{\beta_1} - \frac{\beta_2}{\beta_2} \right) = E_0 \qquad \left[\frac{\frac{1}{\chi_1 R}}{\frac{1}{\chi_1 R} + \frac{G1}{\chi_1}} - \frac{\frac{1}{\chi_2 R}}{\frac{1}{\chi_2 R} + \frac{G2}{\chi_2}} \right]$$

Soit:

$$\Delta V(\infty) = E_0 \left[\frac{1}{1+G_1R} - \frac{1}{1+G_2R} \right]$$

Ce terme ne dépend que des conductances G_1 et G_2 . On a donc un moyen facile pour déterminer l'équilibre en conductance : il suffit de connaître le signe de la tension de déséquilibre $\Delta V(\infty)$

$$\Delta V(\infty) \begin{cases} 0 & G_1 < G_2 \\ 0 & G_1 = G_2 \\ 0 & G_1 \end{cases}$$

- Réponse autour de l'origine

Calculons les dérivées première et seconde de \triangle v(t)

$$\frac{dv_1}{dt} = \frac{\beta_1 E_0}{\alpha_1'' - \alpha_1'} \left[(\alpha_1 - \alpha_1') e^{-\alpha_1't} + (\alpha_1'' - \alpha_1) e^{-\alpha_1't} \right]$$

$$\frac{d^{2}v_{1}}{dt^{2}} = \frac{\beta_{1} E_{0}}{\alpha_{1}^{"} - \alpha_{1}^{'}} \left[\alpha_{1}^{'} (\alpha_{1}^{'} - \alpha_{1}^{'}) e^{-\alpha_{1}^{'}t} + \alpha_{1}^{"} (\alpha_{1}^{'} - \alpha_{1}^{"}) e^{-\alpha_{1}^{"}t} \right]$$

A l'origine :

$$\left(\frac{d v_1}{d t}\right) = \frac{\beta_1 E_0}{\alpha_1'' - \alpha_2'} \left(\alpha_1'' - \alpha_2'\right) = \beta_1 E_0$$

Donc:

$$\left(\frac{d\Delta V}{dt}\right)_{t=0} = \left(\frac{dV_1}{dt}\right)_{t=0} = \left(\frac{dV_2}{dt}\right)_{t=0} = E_0 \left(\beta_1 - \beta_2\right) = \frac{E_0}{R} \left(\frac{-1}{\gamma_1} - \frac{1}{\gamma_2}\right)$$

La pente à l'origine ne dépend donc que du déséquilibre en capacité :

Exprimons la valeur de la dérivée seconde au temps t = 0

$$\frac{\left(\frac{\mathrm{d}^{2} \vee_{\lambda}}{\mathrm{d}t^{2}}\right)_{t=0}}{\left(\frac{\mathrm{d}^{2} \vee_{\lambda}}{\mathrm{d}t^{2}}\right)_{t=0}} = \frac{\beta_{1} \times \delta_{0}}{\left(\frac{\alpha'_{1} \times \delta_{0}}{\mathrm{d}t^{2}}\right)} \left(\alpha'_{1} \times \delta_{0} \times \delta_{1} + \alpha_{1} \alpha''_{1} + \alpha_{1} \alpha''_{1} + \alpha_{1} \alpha''_{1}\right) = \beta_{1} \times \delta_{0} \left[\alpha_{1} - (\alpha'_{1} + \alpha''_{1})\right] - \beta_{2} \times \delta_{0} \left[\alpha_{2} - (\alpha'_{2} + \alpha''_{2})\right]$$

or:

$$\alpha'_1 + \alpha''_1 = \alpha_1 + \mu_1 + \delta_1$$
 $\alpha'_2 + \alpha''_2 = \alpha_2 + \mu_2 + \delta_2$

L'équilibre étant réalisé en G et en

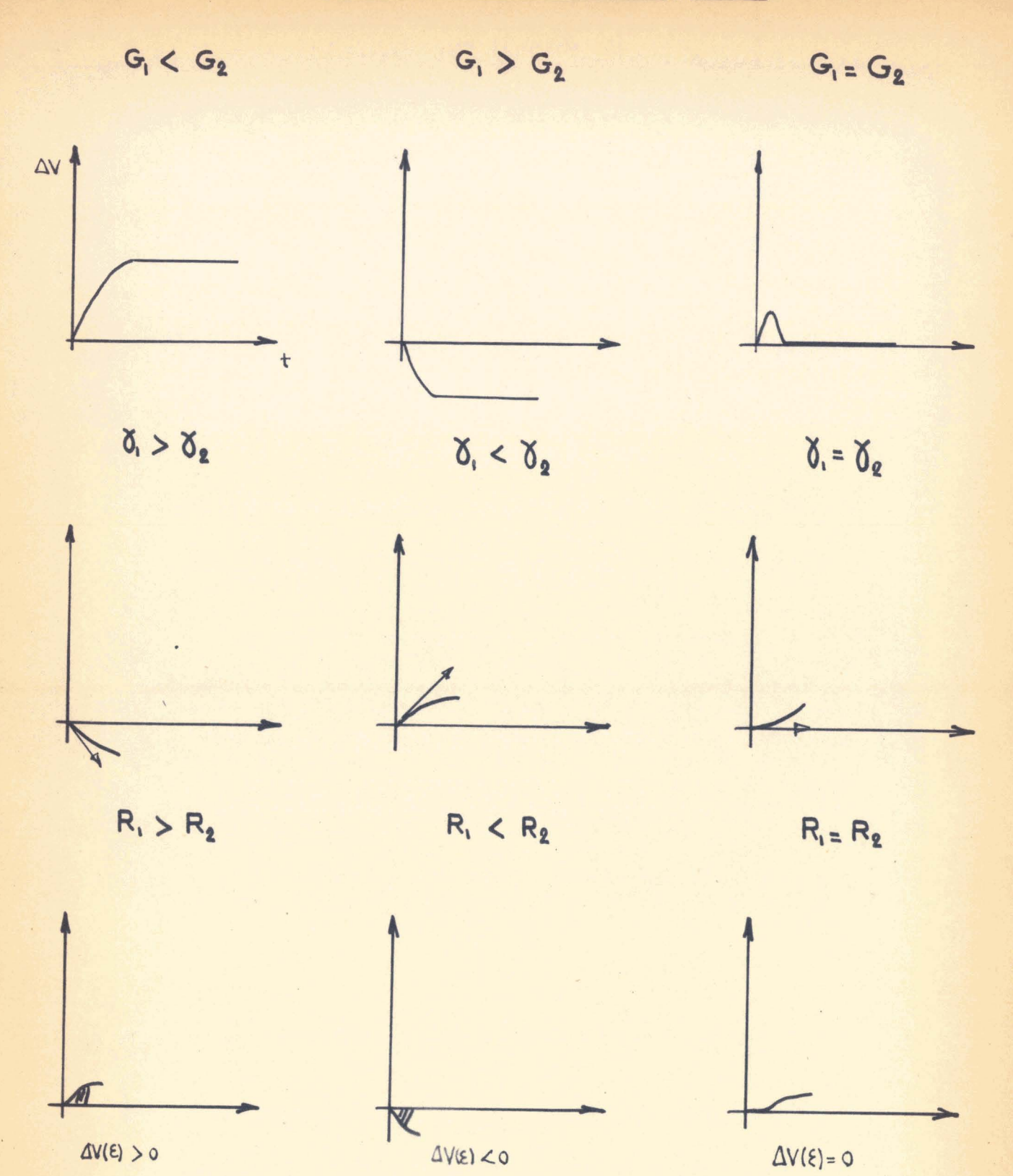
ce qui est possible en suivant les indications précédentes :

$$\beta_{1} = \beta_{2} = \beta$$

$$(\frac{d^{2} \Delta V}{dt^{2}}) = \beta R_{0} (J_{1} + J_{2}) = \beta E_{0} \frac{1}{\lambda} (\frac{1}{R_{2}} - \frac{1}{R_{1}})$$

Le signe du désaccord autour de l'origine ne dépend donc que de R₁ et R₂

Différents cas de déséquilibre



En effet pour
$$t = 0$$
 $\Delta v = 0$ $\frac{d \Delta V}{dt} = 0$

si $\frac{d^2\Delta V}{dt^2}$ > 0 $\frac{d\Delta V}{dt}$ est une fonction croissante autour de l'origine Etant nulle pour t = 0 ; $\frac{d\Delta V}{dt}$ est donc positive autour de l'origine.

Or, $\frac{d\Delta V}{dt}$ > 0 \Rightarrow Δ v est une fonction croissante. Comme $\Delta v(0) = 0$, Δ V est forcément > 0 autour de l'origine.

Si $\frac{d^2\Delta^{\vee}}{dt^2}$ < 0 on montre de la même manière que cette fois Δ V (+0) < 0

$$\Delta V(+0) \begin{cases} 0 & R_1 > R_2 \\ = 0 & R_1 = R_2 \\ < 0 & R_1 < R_2 \end{cases}$$

Quand l'équilibre est réalisé en G , & et R l'équilibre en C est immédiat.

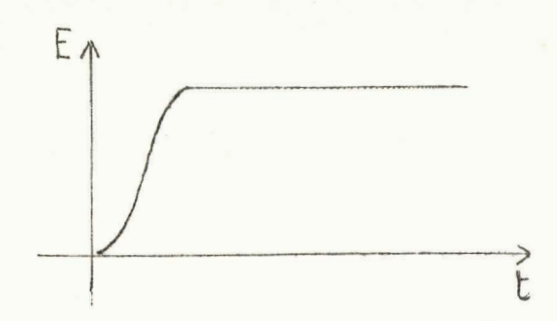
Un tableau récapitulatif des différents cas de déséquilibre résume tous ces résultats.

4 - APPLICATION A LA DETERMINATION DE L'EQUILIBRE

Par le simple examen de la réponse $\Delta v(t)$ à l'oscilloscope, il est facile d'avoir rapidement l'accord.

Cependant en pratique, une telle méthode est beaucoup trop imprécise en ce qui concerne la détermination de 31. En effet le signal fourni par le générateur n'est pas rigoureusement rectangulaire : temps de montée, tangente à l'origine pratiquement horizontale.

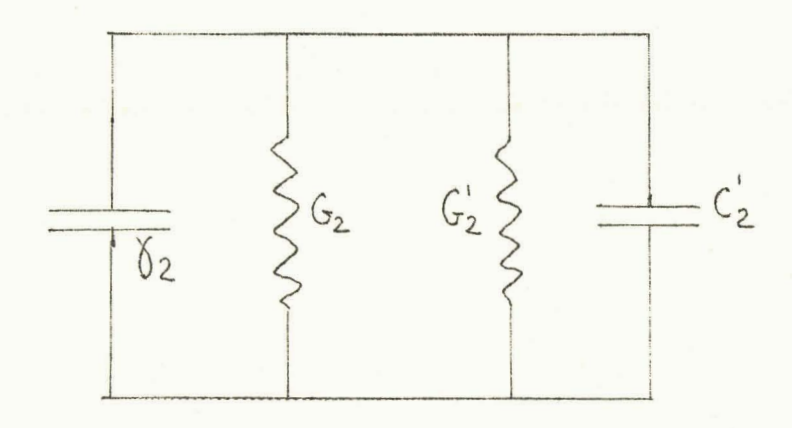
Il est donc particulièrement difficile d'apprécier la tangente à l'origine sur le signal \triangle v(t).



Pour éviter cette imprécision, la variable \bigvee_{λ} est équilibrée séparément. L'harmonique de fréquence f_o de rang maximum est extraite du signal de sortie Δ v.

Si $f_o >> f_c$ fréquence critique du dièlectrique étudié, l'amplitude v_o de ce signal ne dépend pratiquement que du déséquilibre en capacité γ .

En effet à une fréquence f fixée, le schéma électrique de la cellule remplie de dièlectrique est :



G'2 et C'2 étant les composantes paralléles du dipôle série R2C2

$$C'_{2} = \frac{C^{2}}{1+1/\Omega^{2}}$$

$$G'_{2} = \frac{I/R_{2}}{I+I/\Omega^{2}}$$
avec I/Q = ω R₂C₂

si f
$$\gg$$
 f_c = $I/C = \frac{2 \pi f}{2\pi f_c} = \frac{f}{fc} \gg 1$ et

$$C'_2 \# Q^2C_2 = (\frac{fc}{f})^2 C_2$$

Si à la fréquence f_0 on réalise l'équilibre en jouant uniquement sur la capacité f_0 on a :

$$\begin{cases} 1 = \begin{cases} 2 + \left(\frac{fc}{fo}\right)^2 \end{cases} C_2$$

Le terme $\left(\frac{f_c}{f_o}\right)^2$ représente alors l'erreur absolue commise sur la détermination de $\left(\frac{f_c}{f_o}\right)$.

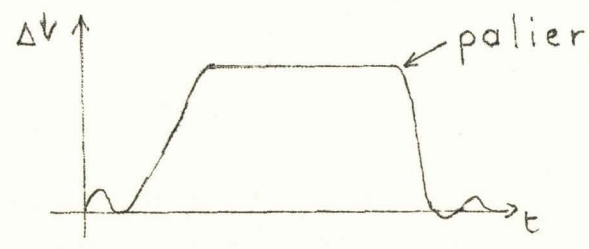
Tant que $\left(\frac{f_c}{f_o}\right)^2 \ll I$ cette erreur sera négligeable.

En fait, l'erreur commise est en général beaucoup plus faible puisque l'équilibre en / peut être retouché lorsque toutes autres variables sont équilibrées.

Pour déterminer les paramétres du dièlectrique à étudier, la méthode est donc la suivante :

1) La cellule de mesure étant en place, on donne aux impulsions une largeur T suffisante pour que le régime permanent puisse s'établir.

La tension \triangle v(t) observée à l'oscilloscope montre un palier :



En agissant uniquement sur la variable G1, on fait disparaître ce palier

$$(\triangle v (\bowtie) = 0)$$

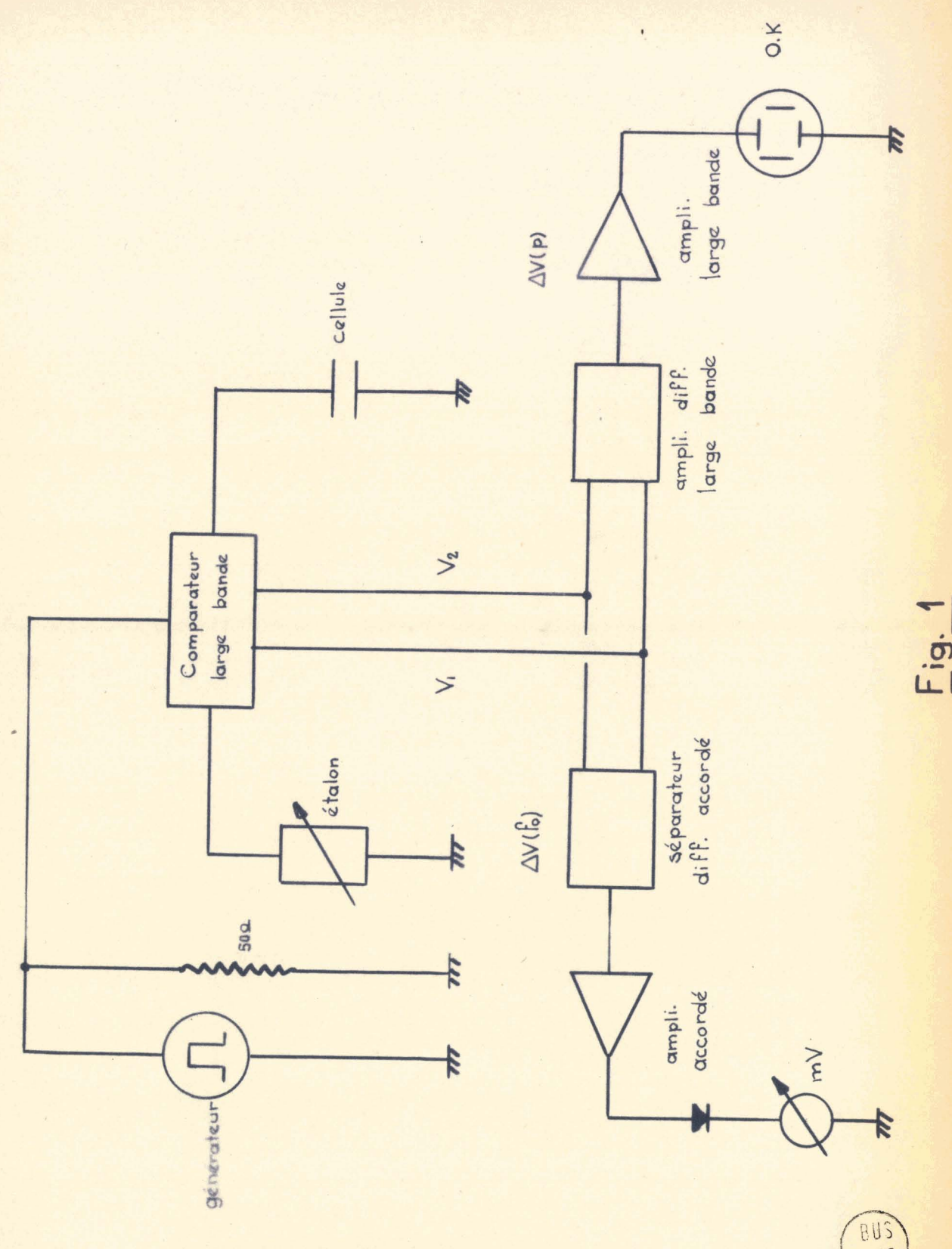
Donc = $G_1 = G_2$

2) La fréquence de récurrence étant fixée à sa valeur maximum (cette fréquence dépend de la largeur des impulsions : caractéristique interne du générateur), l'amplitude de l'harmonique de fréquence f_o (27MHz) est alors maximum, ainsi que celle de Δ $v(f_o)$ (meilleure sensibilité).

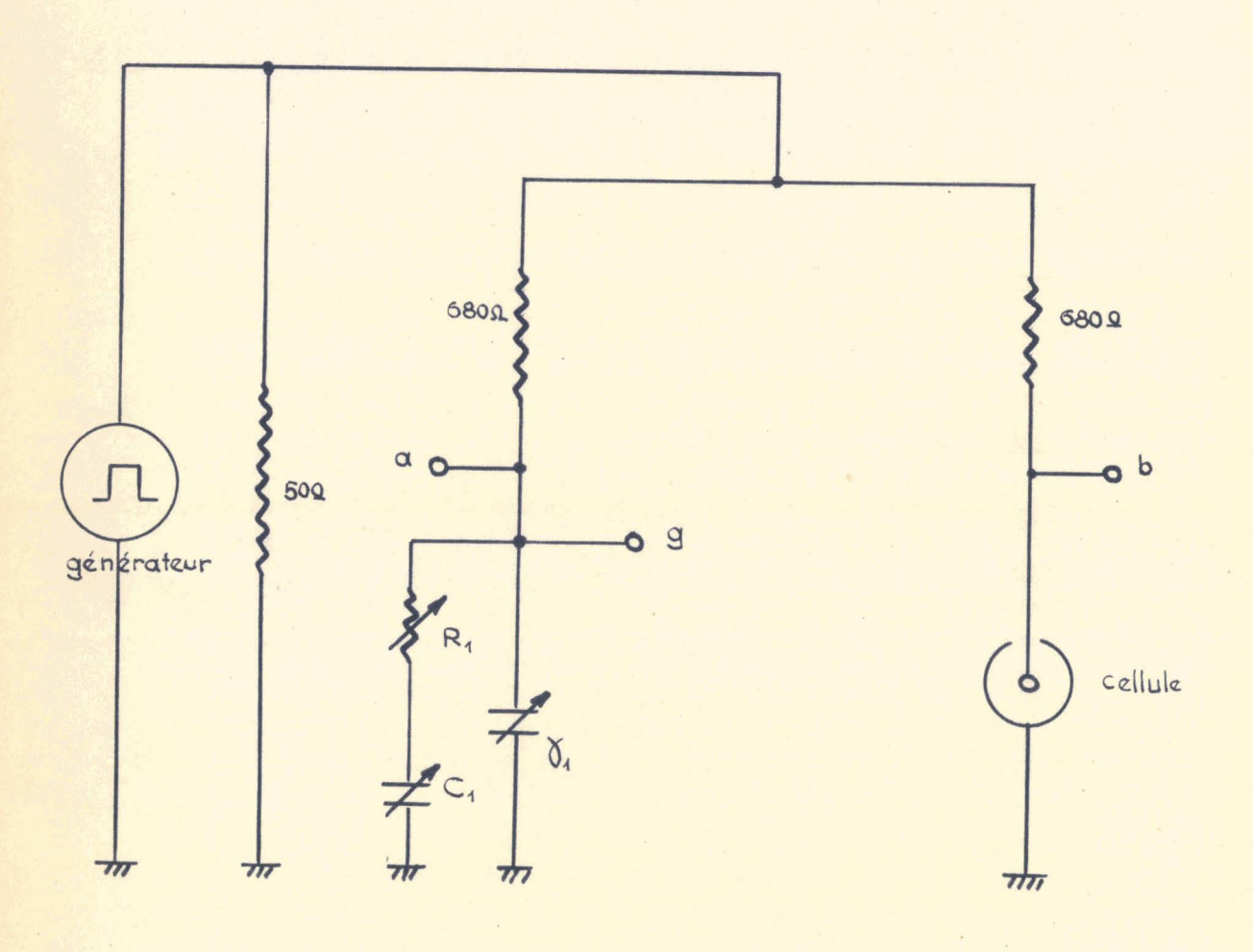
On annule la tension de déséquilibre $\triangle v(f_0)$ en jouant uniquement sur la capacité \bigwedge_A . A l'équilibre :

82 = 82

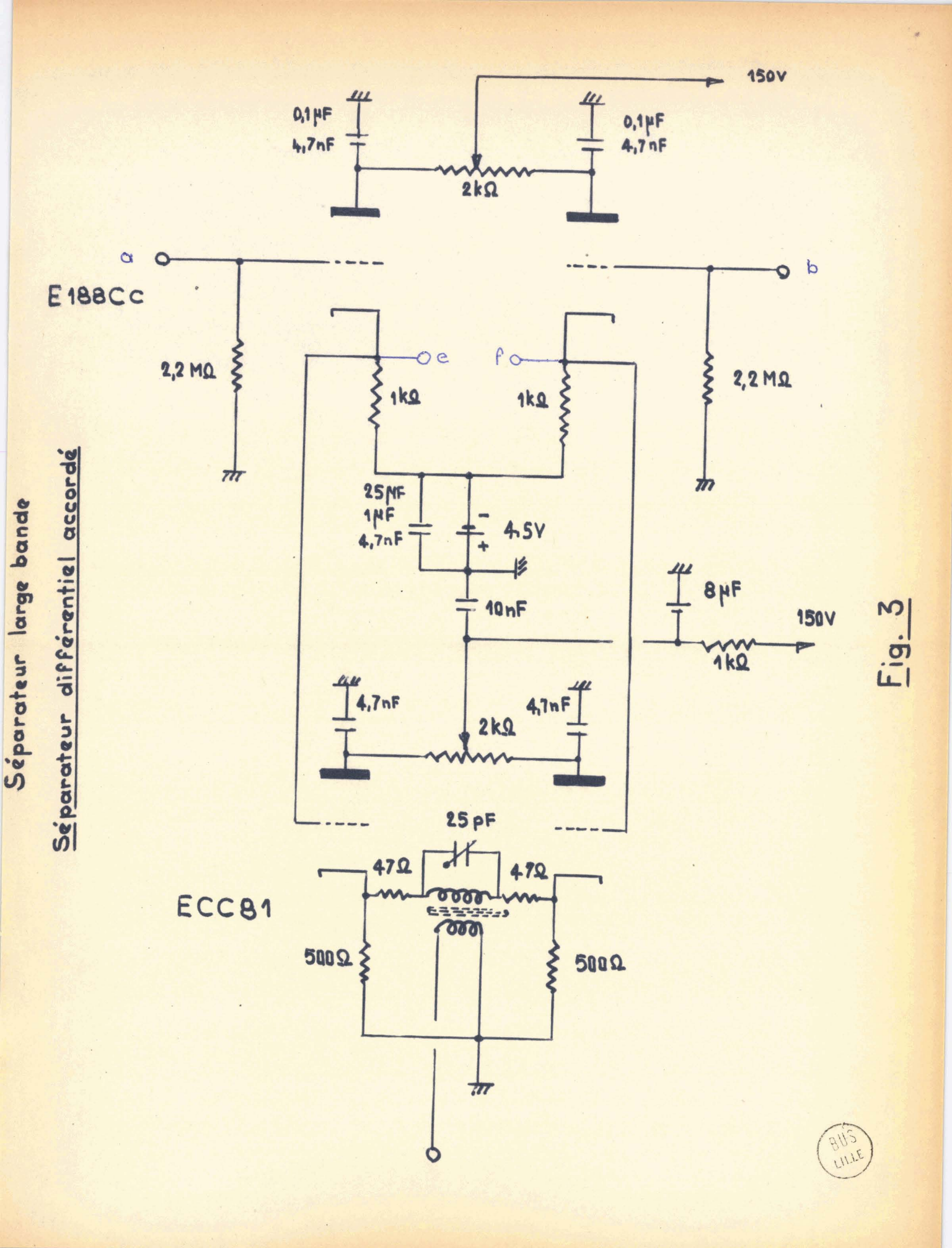
- 3) C₁ ayant une valeur arbitraire, on annule la tension de déséquilibre autour de l'origine (observation à l'oscilloscope). Cet équilibre étant assez flou (cette région est d'une observation difficile), R₁#R₂
- 4) On fait varier C_1 jusqu'à annuler au mieux la tension résiduelle. Il est alors facile d'ajuster R_1 puis C_1 pour que la tension de déséquilibre soit pratiquement nulle.

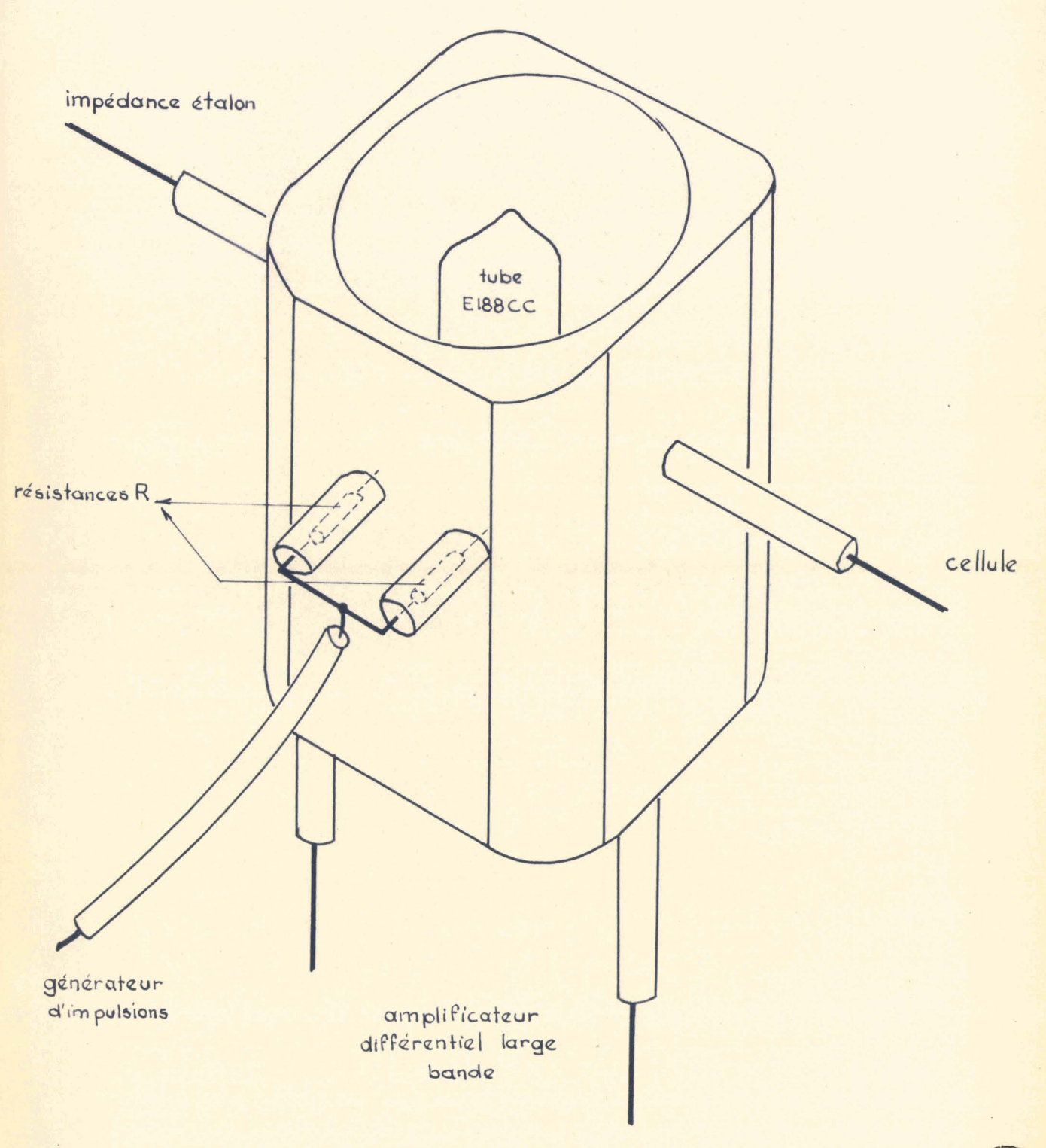


Comparateur à large bande

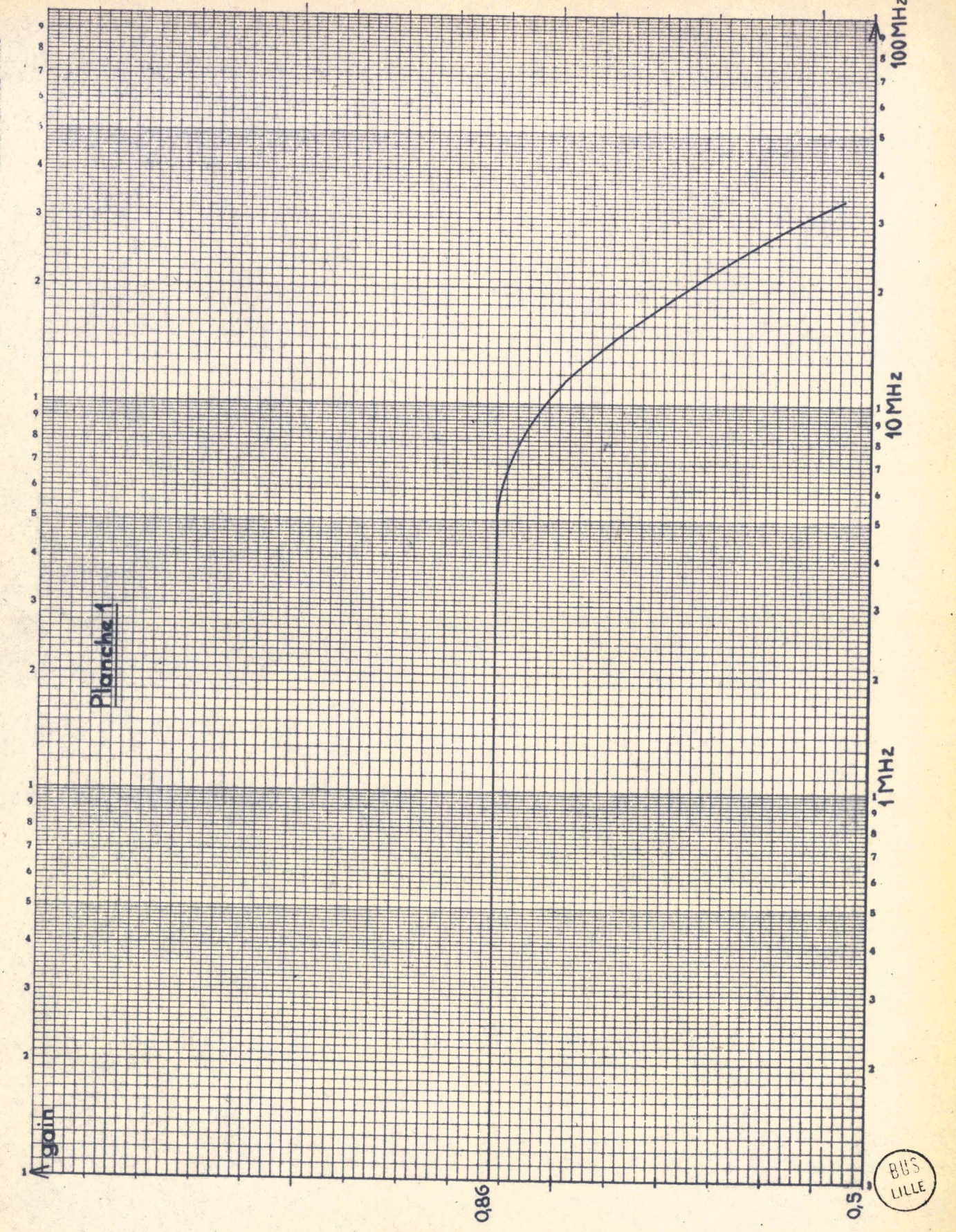








BILZ



II - REALISATION EXPERIMENTALE

Le schéma général du dispositif utilisé est donné à la fig. 1. Le générateur d'impulsions (Férisol type 201A), adapté par une charge de 50Ω attaque un comparateur à large bande chargé d'une part par la cellule remplie de dièlectrique, d'autre part par un circuit électrique (impédance étalon).

Les tensions de sortie sont appliquées :

- a) à un amplificateur différentiel à large bande, délivrant la tension $\Delta v = v_1 v_2$. La tension Δv est après une nouvelle amplification appliquée à un oscilloscope.
- b) à un étage séparateur différentiel accordé qui délivre la tension $\triangle v(f_0) = (v_1 v_2)$ (f_0) , tension de déséquilibre pour la fréquence f_0 . Cette tension est ensuite amplifiée, détectée et appliquée à un millivoltmètre.

On a ainsi les deux informations nécessaires à la détermination des variables :

- la réponse globale à l'impulsion
- la réponse partielle pour la fréquence f

1°) COMPARATEUR A LARGE BANDE

Le comparateur d'impédance est de conception classique (fig. 2). Les résistances R sont appairées : elles sont dentiques à mieux que 0,1%. La valeur faible de 880 Ω a été choisie, car pour les mesures qui ont été faites (mélanges de sable et d'eau) les impédances à déterminer avaient des valeurs de cet ordre (sensibilité maximum).

Les tensions de sortie v₁ et v₂, disponibles en a et b, sont prélevées à l'aide d'un étage séparateur à large bande. Pour éviter les réactions possibles de la sortie sur l'entrée, nous utilisons deux charges cathodiques équilibrées (fig. 3).

Pour augmenter la symétrie et éviter les couplages entre les différentes voies, ce montage a été réalisé dans un cyclindre de laiton les entrées et les sorties étant de type coaxial (fig. 3 bis). Le cablage de cette réalisation présente les particularités suivantes :

- les fils de connexion sont très courts, afin d'éviter les effets de self induction et de capacité.
- les longueurs électriques des bras reliant le comparateur à la cellule d'une part, à l'impédance étalon d'autre part, sont identiques. Cette condition est nécessaire pour que la comparaison soit valable (surtout à la fréquence $f_0 = 27 \mathrm{MHz}$).

Les tensions v₁ et v₂ disponibles en e et f, sont appliquées ensuite à un amplificateur différentiel à large bande (Tektronix tiroir G). L'amplificateur à large bande qui suit est l'amplificateur de l'oscilloscope (Tektronix type 543, tiroir L).

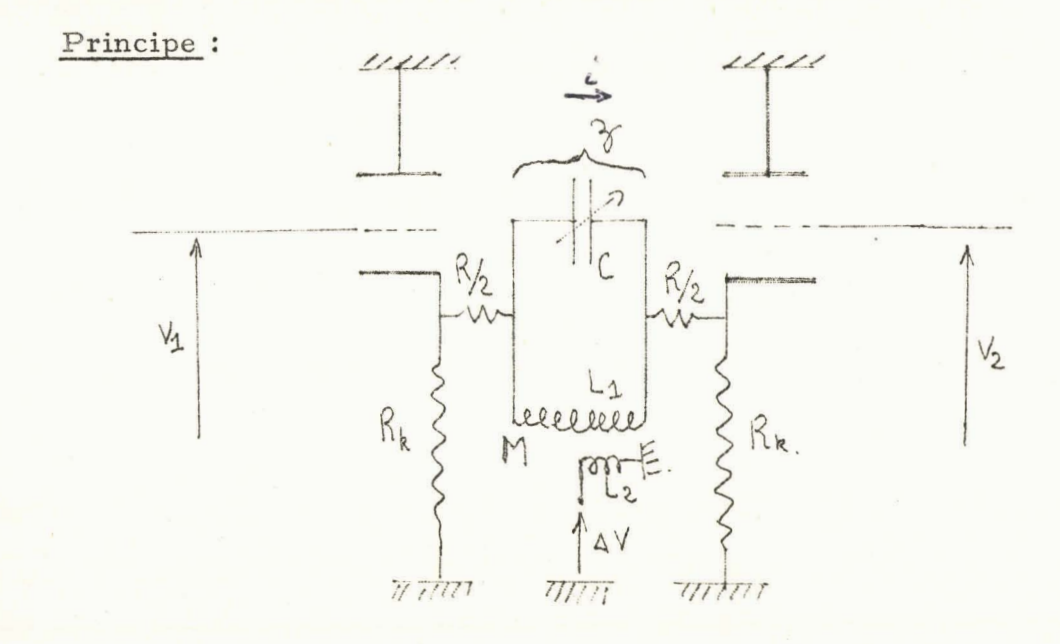
Performances:

Tous les autres étages étant en place, l'étage séparateur à large bande a un gain de 0,86 et une bande passante à 3dB de 27MHz (voir planche I).

2°) SEPARATEUR DIFFERENTIEL ACCORDE

L'étage différentiel accordé a pour but d'extraire la tension de déséquilibre \triangle $v(f_o)$.

Pour ne pas perturber le fonctionnement de l'étage séparateur à large bande, le montage anode à la masse a encore été choisi (fig. 3).



A partir des équations des tubes (supposés identiques), on montre facilement que l'on a :

$$i = \frac{sR_k}{z [I + (g + s) R_k] + 2R_k} (v_1 - v_2)$$

avec les notations habituelles :

s: pente du tube

g: conductance interne du tube

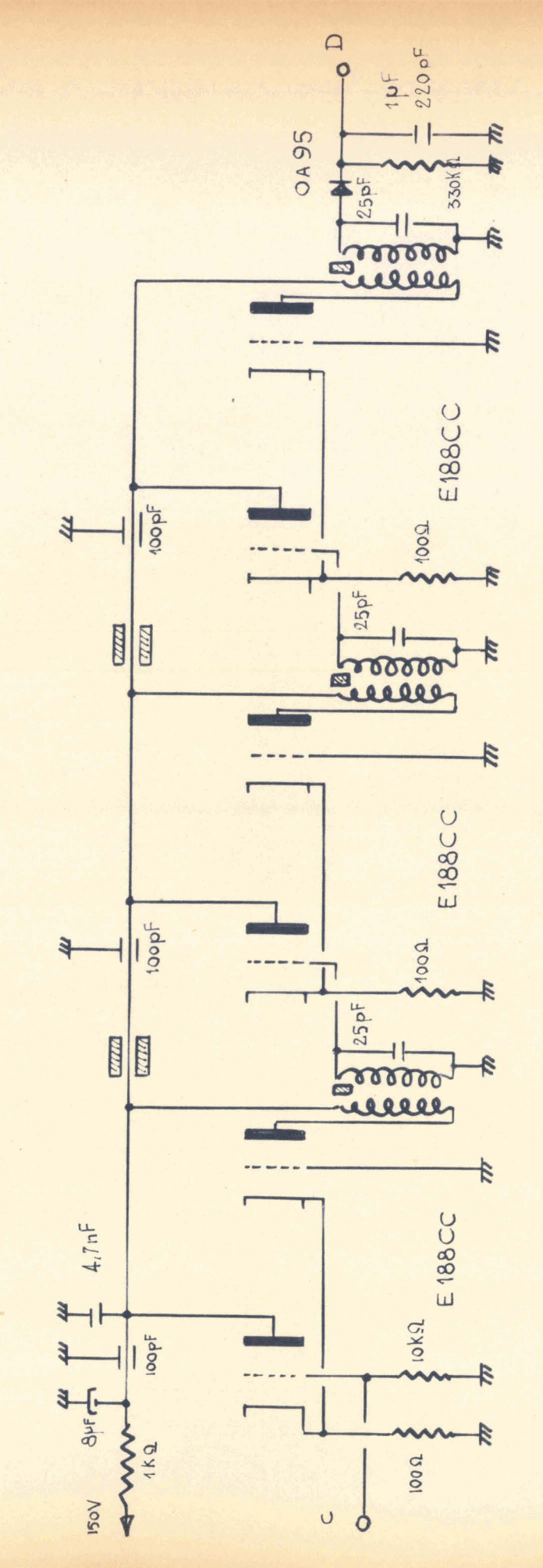
avec $sR_k \gg I$ l'expression ci-dessus se simplifie :

$$i \frac{}{//} \frac{s \triangle v}{2+z (g+s)}$$

Autour de la résonance l'impédance z est $\#R+R_p$, R_p étant la résistance paralléle du circuit oscillant L_IC . De sorte qu'en posant $\Omega = \frac{R_p}{\omega L_1}$ la tension $\Delta \, v(f_o)$ prélevée a pour expression :

$$\triangle v (f_0) = \frac{j\omega Ms \Omega \Delta v}{\left[j + \Omega(I - \omega^2 L_{IC})\right] \left[2 + (g+s)(R+R_p)\right]}$$

Fig. 4



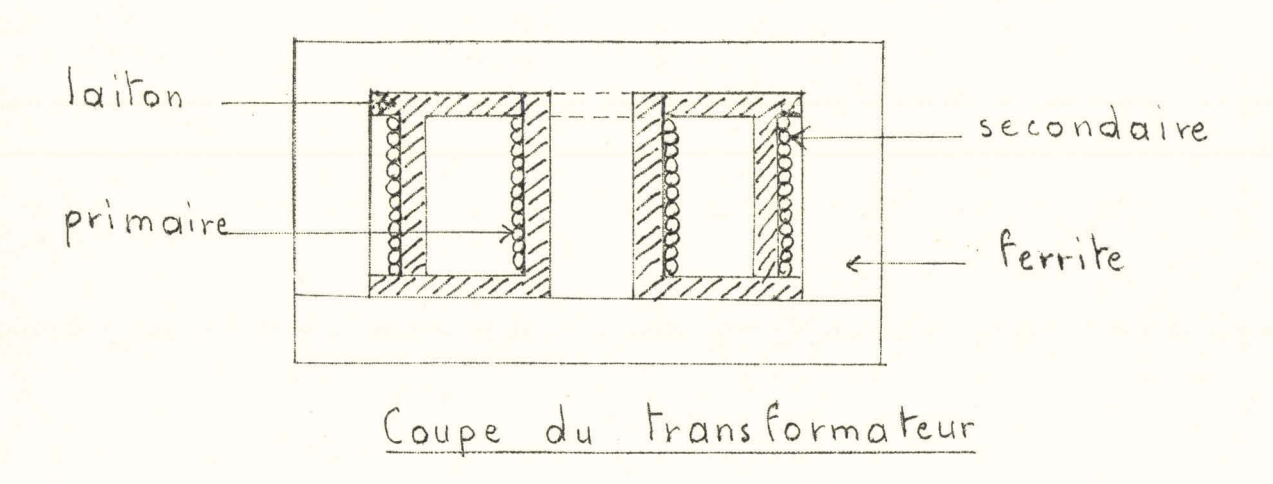
Amplificateur accordé



La tension Δ v(f_o), est donc maximum à la fréquence f_o (courbe de résonance) et est proportionnelle à la différence Δ v = v₁-v₂. La fréquence qui a été choisie est de 27MHz, fréquence de coupure de l'étage séparateur à large bande.

L'ensemble L₁, L₂ a été réalisé sur un transformateur à ferrite blindé qui permet :

- d'éviter les rayonnements
- une parfaite symétrie, le primaire et le secondaire étant isolés par un anneau de laiton.



3°) AMPLIFICATEUR ACCORDE

L'amplificateur accordé doit avoir les qualités suivantes :

- grand gain, car le signal $\triangle v(f_0)$ est très faible ($\leqslant 0$, lmV)
- grande impédance d'entrée pour ne pas perturber le fonctionnement du séparateur différentiel accordé.
- très grande stabilité, car il ne fonctionne pas de manière continue, mais est excité par des trains de sinusoides, correspondant aux fronts de montée et de descente des impulsions du signal d'excitation (photo I) Pour ces différentes raisons et pour sa simplicité, le montage cascode paralléle a été choisi.

On a trois étages identiques, montés en cascade, séparés les uns des autres par blindages (fig. 4)

Performances:

En régime sinusoidal permanent, le gain est de 15 000 et la bande passante à 3dB de 100kHz, pour une fréquence centrale de 27MHz. L'ensemble séparateur différentiel accordé, amplificateur accordé posséde un facteur de réjection 1 500.

L'indication fournie par le millivoltmètre, proportionnelle au déséquilibre à la fréquence f, est de ce fait assez précise :

de 2mV/pF à 5mV/pF

4°) IMPEDANCE ETALON

L'impédance étalon représente le dipôle équivalent au dièlectrique à étudier. Ses élèments doivent donc pouvoir être connus avec le maximum de précision et surtout être parfaitement définis à toutes fréquences <27MHz.

Sa réalisation a de ce fait posé des problèmes qui ne sont que partiellement résolus : la valeur des élèments varie d'une part avec la fréquence (de 0 à 27MHz), d'autre part, dans une faible proportion avec l'amplitude du signal appliqué.

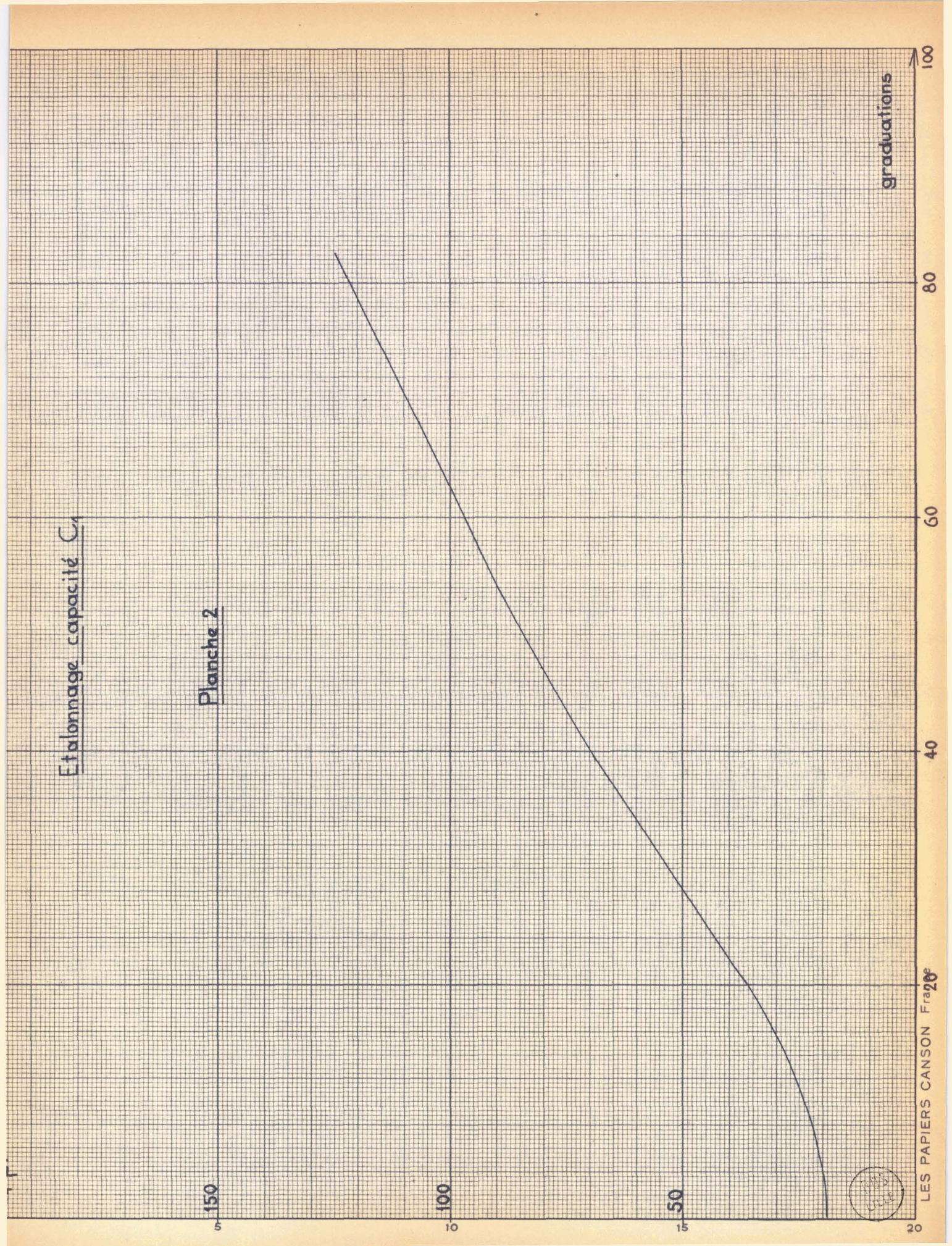
Or le signal d'excitation, présentant un temps de montée près bref est la somme d'un grand nombre de signaux élèmentaires de fréquence et d'amplitude toutes différentes.

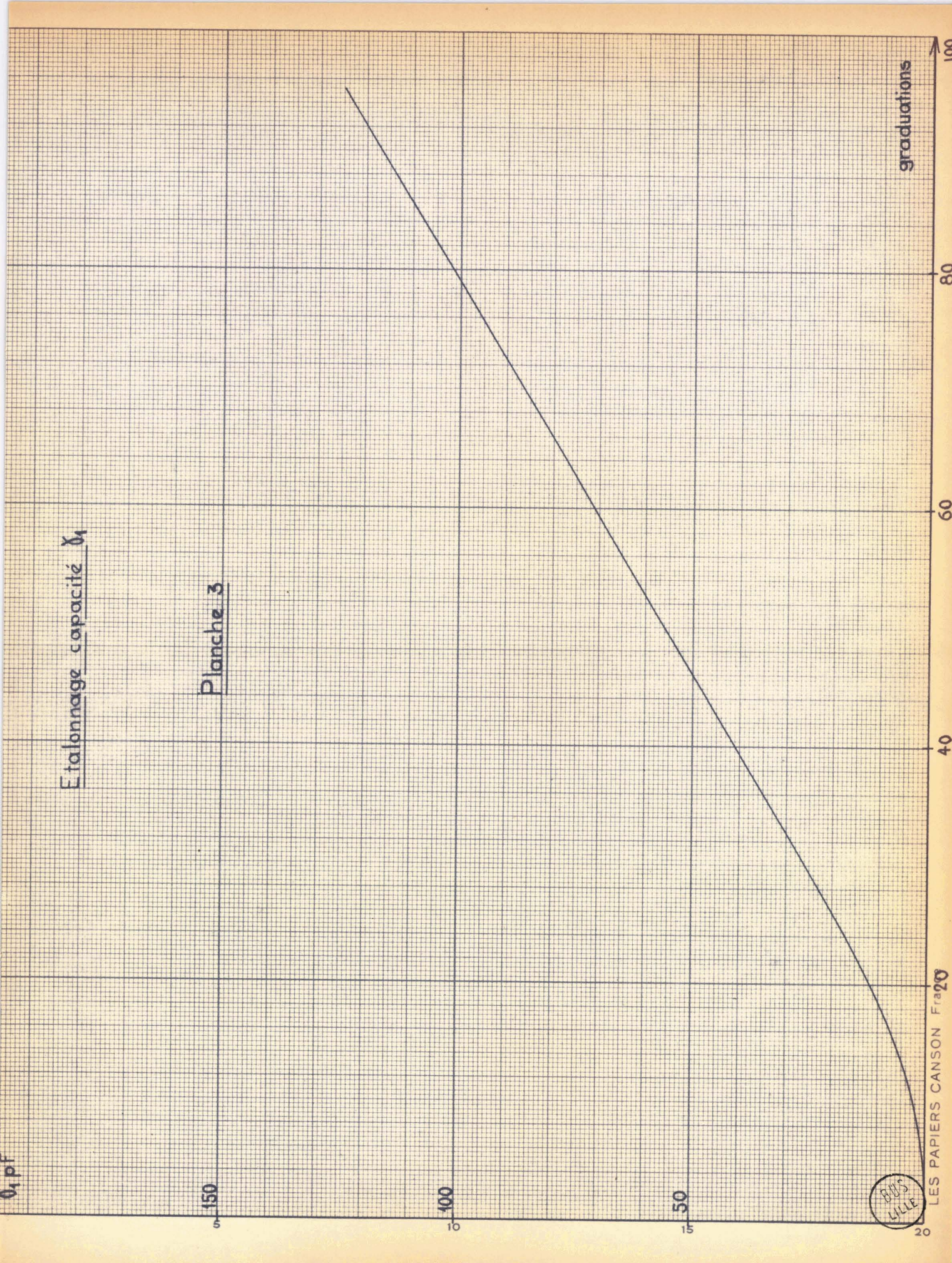
Une certaine imprécision est à prévoir dans la détermination des élèments de l'impédance étalon.

a) capacités

Les capa cités utilisées sont des condensateurs variables à air. Aréna type C.T.L. définis jusqu'à la fréquence de 200MHz.

La disposition et le cablage des ces élèments ont été particulièrement étudiés pour supprimer tout effet de self dans la bande de fréquence utilisée.





Les étalonnages faits en régime sinusofdal (27MHz) et en impulsions ne montrent pas de différences appréciables.

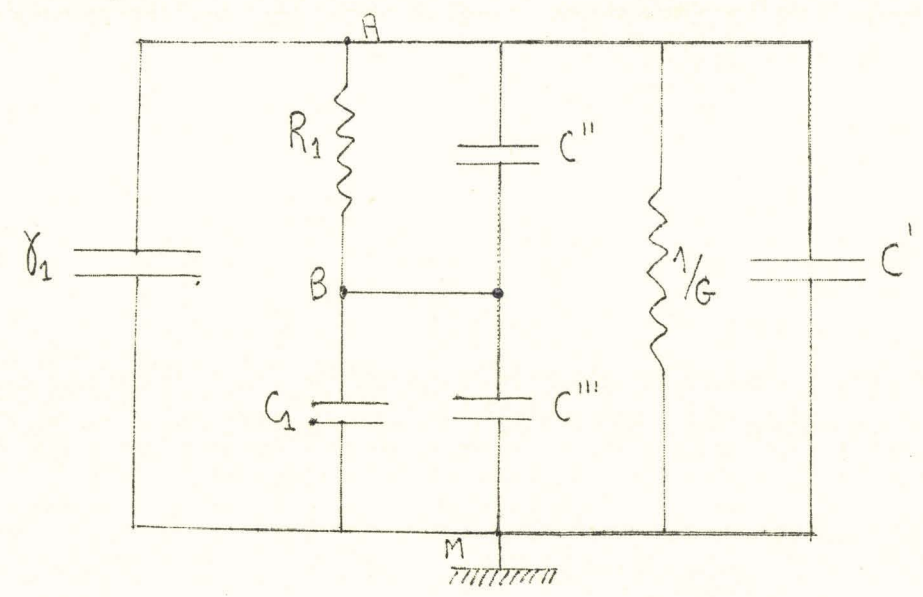
Les capacités sont les élèments qui sont déterminés avec le plus de précision.

Les courbes d'étalonnage sont données aux planches 2 et 3. Dans le tracé de ces courbes nous avons tenu compte des capacités parasites dues aux condensateurs eux-mêmes et au cablage.

b) résistances

Les résistances sont des élèments assez mal définis, principalement à cause des impédances parasites qu'elles présentent (self ou capacité).

Des résistances subministures très faibles dimensions ont été choisies, justement à cause de leur capacité parasite réduite. Cependant l'erreur due à ces élèments s'est révélée importante. Le schéma de l'impédance étalon se présente sous la forme :



Les capacités parasites C' et C", à condition de rester constantes, ne sont pas génantes, car elles sont en parallèle sur les élèments χ_1 et C_1 de même nature. Il suffit donc d'en tenir compte dans l'étalonnage.

Par contre, la capacité C" introduit systématiquement une erreur sur la détermination de R₁.

Un exemple numérique le montre clairement :

pour C" = 1pF à 30MHz
$$\frac{I}{C"\omega}$$
 = 5 000 Ω

si $R_1 = 1 k\Omega$ l'impédance équivalente au dipôle pazallèle $R_T C''$ est :

$$Z = \frac{50000}{6000} = 820\Omega$$
 et $\frac{R_{I} - Z}{R_{T}} = 18\%$

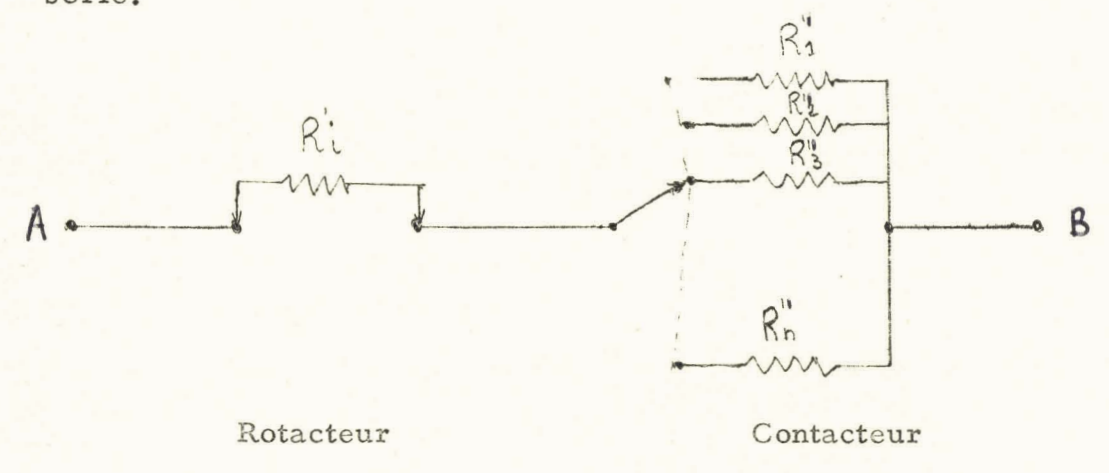
Remarque:

Nous avons placé R_1 entre A et B et non entre B et M. Ce choix se justifie : avec un cablage bien réalisé, la capacité C" est pratiquement la capacité parasite présentée par la résistance $R_{\rm I}$ et sa monture (nous avons utilisé des résistances qui dans la gamme O-30MHz restent capacitives).

Cette capacité est toujours relativement faible (0, 2pF à 0, 5pF).

Par contre C'' est beaucoup plus élevée (quelques pF), quelque soit l'impédance placée entre B et M, car cette capacité se produit entre un point "chaud" et la masse.

Nous avons d'ailleurs minimisé l'erreur due à C", en prenant pour R_1 non pas une résistance unique, mais deux résistances placéesen série.



Cette disposition permet en outre d'ajuster plus finement $R_{\rm I}$, puisque nous disposons de deux décades :

- Ri varie de 100 Ω à 1 200 Ω
- R" $_{\rm I}$ varie de 10Ω à 150Ω

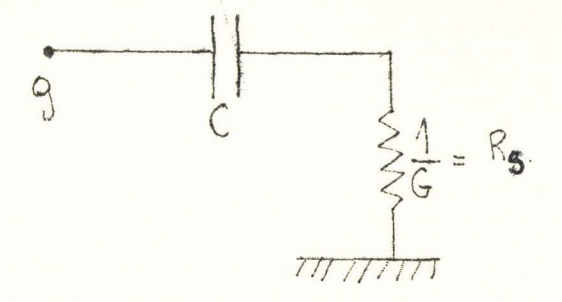
En plus \mathbb{R}_1 peut prendre les valeurs O (court-circuit) et \leadsto (circuit ouvert).

La variation d'un plot à un autre (variation de R"₁) étant inférieure à l'erreur de détermination commise, R_I peut ^etre connue d'une manière satisfaisante.

c) Conductance

La conductance variable est formée par l'impédance de sortie d'un étage à charge cathodique dont on fait varier la polarisation (Fig. 5).

Pour ne pas modifier les points de fonctionnement des tubes de l'étage comparateur, nous avons été contraints d'utiliser entre le comparateur et la cathode du tube EC 81 un liaison par capacité:



C est constitué par trois condensateurs placés en paralléle : 25µF chimique (basse fréquence), 0,1 µF papier (moyenne fréquence); 4,7nF céramique (haute fréquence).

L'impédance vue entre g et masse est donc :

$$z = \frac{I}{G} + \frac{I}{pC}$$

Conductance variable

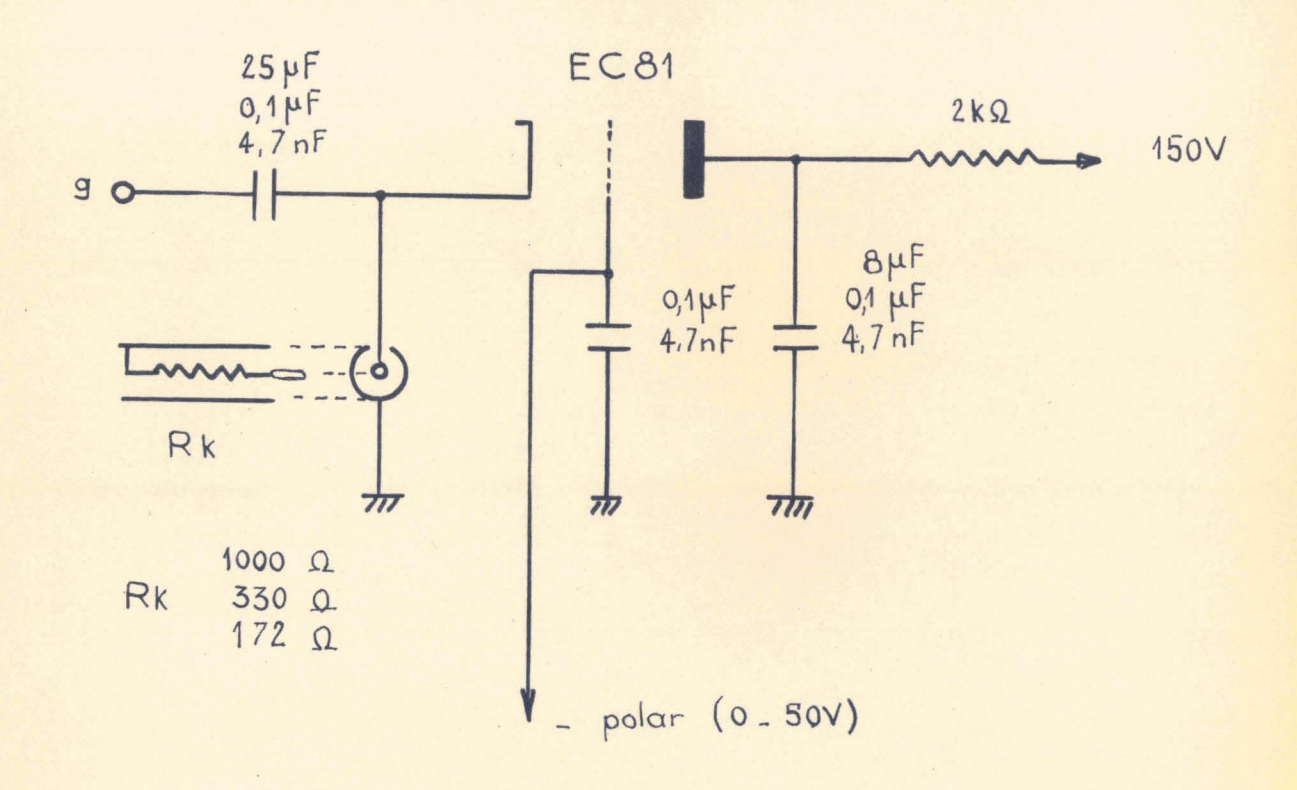
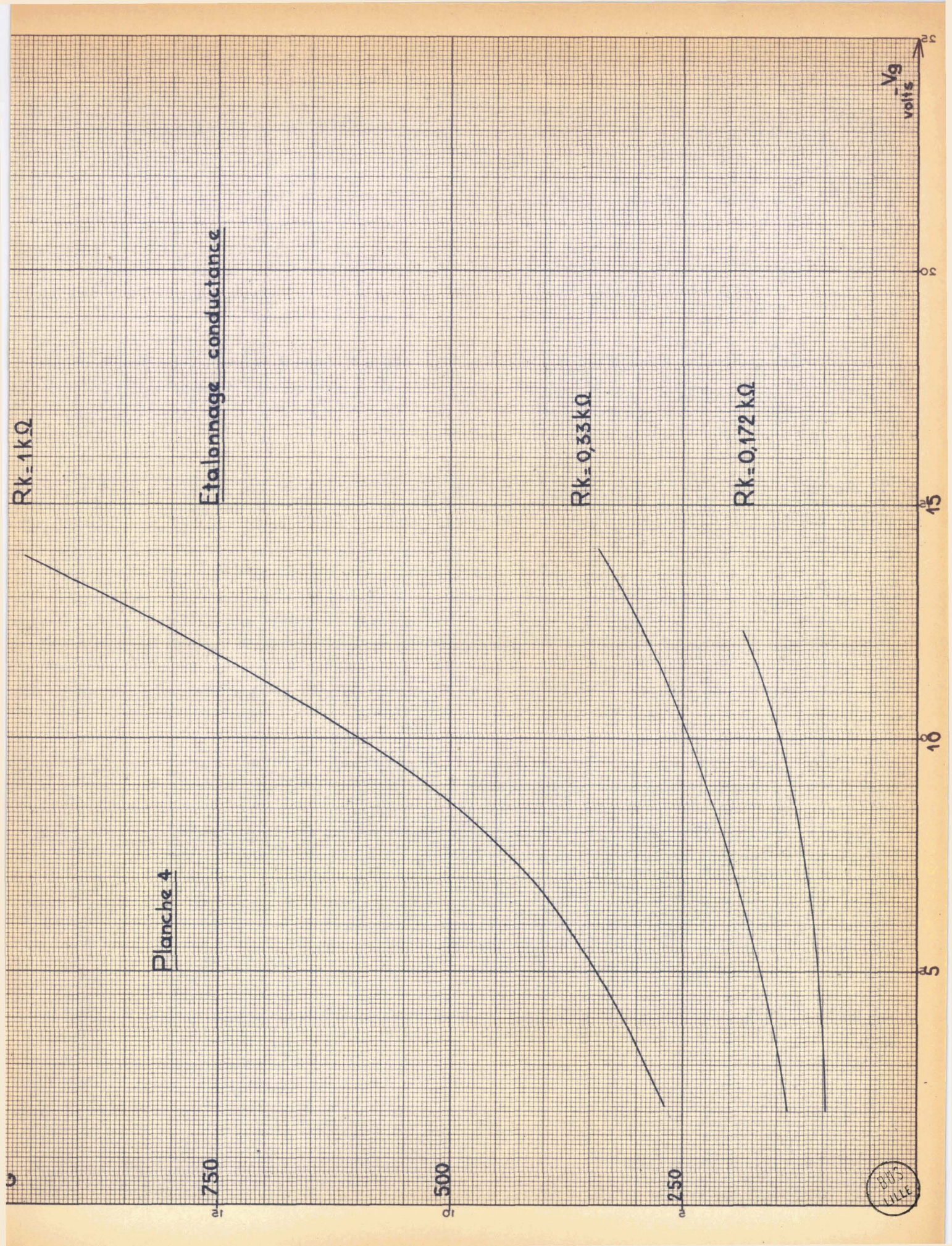


Fig. 5



Pour que cette impédance soit assimililable à une résistance pure, il faut que le terme $\frac{I}{pC}$ soit négligeable devant $\frac{I}{G}$.

La fréquence f_I, la plus basse du signal d'excitation, étant la fréquence fondamentale (fréquence de récurrence), il faut que l'on ait :

$$\frac{I}{2\pi f_I C} \ll \frac{I}{G} = R_s \text{ soit } f_I \gg \frac{I}{2\pi G R_s}$$

La valeur minimum de R_s étant 900, il faut donc :

$$f_{\rm I} \gg \frac{I}{2\pi \times 25 \ 10^{-6} \times 90} = 70 \ \rm Hz$$

Les fréquences de récurrence utilisées étant > 10kHz, l'admittance entre g et masse est pratiquement G.

La variation de la résistance de sortie s'étend de $Ik\Omega$ à 9Ω d'une manière continue, en trois gammes (commutation de la résistance de cathode R_k).

Pour les mesures que nous avons faites, cette variation s'est révélée suffisante.

Les courbes d'étalonnage sont données à la planche 4.

5°) PRECISION

Avant d'analyser les différentes causes d'erreur, on peut limiter le problème en remarquant que l'erreur introduite par le comparateur à large bande est un facteur négligeable, l'étalonnage tenant compte de toute asymétrie possible de ce dispositif.

- pour la variable (1 la précision dépend :
- a) de la symétrie du transformateur de sortie de l'étage séparateur différentiel accordé.
- b) de l'accuité de la réponse de l'ensemble séparateur différentiel accordé, amplificateur accordé.

Le facteur de réjection (> 1 500) et la sensibilité de l'appareillage rendent le facteur b) négligeable.

Par contre le facteur a) peut intervenir. S'il existe une lègère dissymétrie, le millivoltmètre indique une tension nulle pour $1 \neq 1$. La symétrie a été vérifiée de la manière suivante :

L'impédance inconnue étant une capacité pure (quelconque), on équilibre en jouant sur la capacité χ_1 (les autres élèments de l'impédance étalon étant : $G_1 = 0$, $R_1 = \infty$).

Le comparateur à large bande étant pris comme référence, la symétrie est bonne si le millivoltmètre indique une tension nulle en même temps de l'oscilloscope.

Cette opération a été faite sur toute la plage de variation de $\mbox{12}$ Compte tenu de toutes les causes possibles, l'erreur commise sur la détermination de $\mbox{12}$ est $\mbox{13}$ est $\mbox{13}$.

- Pour la variable G₁, la précision est liée à la variation de l'impédance de sortie de l'étage à charge cathodique avec l'amplitude du signal d'excitation (fonctionnement dans les parties non linéaires des caractéristiques du tube).

Pour une amplitude du signal variant de 0 à 5 volts, on ne constate pratiquement aucune variation. Comme une amplitude ≤ 2 volts est suffisante, l'erreur introduite dépend uniquement de la sensibilité de la chaîne d'amplification (large bande).

L'erreur est ici encore $\sqrt{5\%}$.

- Pour les variables R_1 et C_1 il est plus difficile de chiffrer l'erreur commise. Nous avons vu (page 24) l'importance prépondérante de l'impédance parasite introduite par R_1 .

La seule méthode possible pour déterminer l'erreur commise sur ces deux variables est de réaliser l'équilibre en prenant comme impédance de référence un dipôle R, C parfaitement comme de l'érreur est ≤ 2 à 8% pour C₁ et de l'ordre de 10% pour R₁.

En se reportant aux formules:

$$\mathcal{E}_{\infty} = \frac{\chi_1 - Co}{Ca} \tag{1-3}$$

$$\mathcal{E}_{o} = \mathcal{E}_{ob} = \frac{C1}{Ca} \tag{1-4}$$

$$\nabla = \frac{G_1 - G_0}{Ga}$$
(1-5)

Ew et $\sqrt{\ }$ seront connus à 5% près et $\frac{\xi_0}{c} - \frac{\xi_0}{c}$ à 8% près. Par contre l'erreur commise sur $f_c = \frac{1}{2\pi RC}$ est plus importante : 18%.

III - <u>UTILISATION DU COMPARATEUR POUR L'ETUDE DES</u> PROPRIETES ELECTRIQUES DES MELANGES DE SABLE ET D'EAU

La méthode de mesure que nous proposons ne convient que pour des diélectriques présentant un seul domaine de relaxation de type Debye.

Or les mélanges de sable et d'eau présentant un phénomène d'hétérogénéité (Maxwell-Wagner), dont le domaine est décrit par des équations de type Debye (tout au moins pour les faibles saturations en eau).

L'étude de ce phénomène a déjà été entreprise, tant aux Laboratoires de Radioèlectricité et Electronique de la Faculté des Sciences de Lille, qu'à l'Institut Français du Pétrole par M. P. SIMANDOUX (3) (4) (5) (6), par la méthode harmonique (mesures en régime sinusoidal).

Notre procédé de mesure étant différent, il était intéressant de comparer les résultats obtenus :

- tout d'abord pour préciser le champ d'application de notre appareillage
- ensuite pour faire ressortir les avantages que notre réalisation peut app--ter : rapidité des mesures, élimination de l'effet de paroi, possibilité de mesurer directement la conductibilité $\sqrt{\ }$ due aux porteurs libres.

I - RAPPELS SUR LE PHENOMENE D'HETEROGENEITE Généralités :

Tout matériau constitué par le mélange de deux phases, l'une diélectrique isolante (ξ_1), l'autre conductrice (ξ_2 , $\sqrt{2}$) présente un phénomène d'hétérogénéité (polarisation interfaciale).

Ce phénomène est caractérisé par un domaine de relaxation de type Debye, dont les paramètres dépendent essentiellement de la proportion des phases dans le matériau considéré et de la forme des particules constituant la phase dispersée (conductrice).

Dans le cas des mélanges de sable et d'eau, c'est la proportion de l'eau dans un massif de sable qui conditionne les paramètres

$$\xi_{\infty}$$
, $K = \frac{\xi_0 - \xi_{\infty}}{\xi_{\infty}}$, et f_c .

Formules de base:

En assimilant les particules conductrices à des ellipsoides de révolution, identiques, disséminées en faible quantité dans la phase continue (dièlectrique), on a les formules suivantes :

$$\mathcal{E}_{\infty} = \frac{F \mathcal{E}_{1}^{\prime} + \mathcal{E}_{2}^{\prime} + pF \left(\mathcal{E}_{2}^{\prime} - \mathcal{E}_{1}^{\prime}\right)}{F \mathcal{E}_{1}^{\prime} + \mathcal{E}_{2}^{\prime} - P \left(\mathcal{E}_{2}^{\prime} - \mathcal{E}_{1}^{\prime}\right)} \mathcal{E}_{2}^{\prime}$$
(III-1)

$$\mathcal{T}_{0} = \frac{1}{2\pi f_{c}} = \frac{\mathbf{F} \, \mathbf{\epsilon}_{1}^{1} + \mathbf{\epsilon}_{2}^{2} - \mathbf{p} \, (\mathbf{\epsilon}_{2}^{2} - \mathbf{\epsilon}_{1}^{2})}{4 \pi \, (\mathbf{I}_{2} \, (\mathbf{1} - \mathbf{p}))}$$
(III-2)

$$K = \frac{1+Fp}{1-p} = \frac{\xi_1'}{\xi_{\infty}'} - 1 = \frac{(F+1)^2 p \xi_1'}{(1-p) \left[F \xi_1' + \xi_2' + pF(\xi_2' - \xi_1') \right]}$$
(III-3)

où:

- F est un facteur de forme rendant compte de l'excentricité des ellipsoides (F = 2 pour des sphéres).
 - ξ_1' la permittivité (réduite) de la phase isolante (sable).
 - ξ'2 la permittivité de la phase conductrice (eau).
 - Iz la conductibilité de la phase conductrice (eau).
- p un paramètre traduisant la concentration en eau du mélange contenu dans une cellule.

Il est intéressant d'introduire le paramètre S_w déterminé uniquement par les propriétés physiques du mélange, lié au paramètre p par la relation :

$$p = \oint S_w$$

porosité
$$\Phi = \frac{\text{volume des pores}}{\text{volume de la cellule}}$$

Les formules précédentes n'ayant de sens que pour p petit, on peut en donner une forme approchée plus simple :

$$\mathcal{E}_{\infty} = \mathcal{E}_{1}^{\prime} \left[1 + (F+1) p \frac{\mathcal{E}_{2}^{\prime} - \mathcal{E}_{1}^{\prime}}{F \mathcal{E}_{1}^{\prime} + \mathcal{E}_{2}^{\prime}} \right]$$
 (III-4)

$$\zeta = \frac{F \xi_1' + \xi_2'}{4\pi \zeta_2} \left[1 + (F+1) p \frac{\xi_1}{F \xi_1' + \xi_2'} \right]$$
 (III-5)

$$K = \frac{(F+1)^{2}p \ \xi_{1}}{F \ \xi_{1}' + \ \xi_{2}'} \left[1 + p \ \frac{2F \ \xi_{1}' - (F-1) \ \xi_{2}'}{F \ \xi_{1}' + \ \xi_{2}'} \right]$$
 (III-6)

Valeur approchée des paramètres

- Fréquence critique

Pour les mélanges de sable et d'eau:

On peut donc en première approximation admettre pour $\mathbf{f}_{\mathbf{c}}$:

$$f_c # \frac{2G_2}{2E'_1 + E'_2} - \frac{G_2}{40}$$
 (III-7)

Donc la fréquence critique est pratiquement indépendante de la saturation en eau.

Pour $G_2 # 10^8$ (eau distillée): $f_c # 2,5 MHz$

- Amplitude du domaine de relaxation

Pour une fréquence donnée (en régime sinusoidal), le paramètre $\Delta \xi' = \xi' - \xi'_1$ (ξ' étant le terme réel de la permittivité ξ'' du mélange, à la fréquence considérée), est pratiquement une fonction quadratique de la saturation S_w .

$$\Delta E' = a S_w + b S_w^2$$

Comme la fréquence critique fa reste pratiquement constante, on peut admettre sans trop d'erreur qu'il en est de même pour :

Ét étant la partie réclle de la permittivité E pour la fréquence f. Or, le paramètre & est directement accessible pour notre méthode, puisque:

$$\epsilon_{c} = \frac{\epsilon_{o} - \epsilon_{\infty}}{2} + \epsilon_{\infty}$$

En se reportant aux formules :

$$\xi_{\infty} = \frac{\sqrt[6]{2 - Co}}{C_a}$$

$$\xi_{0} - \xi_{\infty} = \frac{C_2}{C_a}$$
(I-3)

$$\xi_0 - \xi_\infty = \frac{C_2}{C_a} \tag{I-4}$$

On a finalement:

$$\frac{C_2}{2C_a} + \frac{\chi_2 - C_o}{C_a} - \xi_1' = a S_w + bS_w^2$$

- Conductibilité

Nous n'avons pas deformule théorique donnant la conductibilité du mélange en fonction du paramètre p. Cependant, tant que la saturation reste faible, la forme des ellipsoides de la phase conductrice reste constante et tant qu'il n'y a pas d'interaction entre eux (déformations et formation de canaux), on peut s'attendre à ce que la variation soit linéaire. Toute augmentation de la proportion d'eau entraînant seulement une augmentation du nor re des particules conductrices denc de C.

2 - MESURES ET RESULTATS

a) <u>Les cellules</u>

Nous avons utilisé quatre cellules de capacités actives différentes, afin de rester dans les limites de variation de l'impédance étalon. En effet (3):

 ξ_{∞} augmente avec la saturation S_{w} (fonction parabolique de S_{w}) $\xi_{\infty} - \xi_{\infty}$ croit depuis la valeur $O(S_{w} = 0)$ jusqu'à une valeur maximum $(S_{w} \# 0, 3)$ pour redécroitre ensuite vers $O(S_{w} = 1)$.

En appelant \bigvee_{M} la valeur maximum possible pour \bigvee_{M} et C_m la valeur minimum possible pour C_1 (capacité résiduelle), pour une saturation donnée, l'équilibre n'est possible que si l'on a :

$$\xi \propto \left\langle \frac{\chi_{\text{in}} - C_{\text{o}}}{C_{\text{a}}} \right\rangle$$

$$\xi_{\text{o}} - \xi_{\text{o}} \sim \frac{C_{\text{in}}}{C_{\text{a}}}$$

soit:

$$\frac{C_{\rm m}}{\varepsilon_{\rm o} - \varepsilon_{\infty}} \leqslant C_{\rm a} \leqslant \frac{\gamma_{\rm loc} - C_{\rm o}}{\varepsilon_{\infty}}$$

Cette condition fixe le paramètre Ca à choisir.

La détermination des paramètres C_a et C_o des cellules a été faite à l'aide du pont de haute précision Général Radio 716 C.

Les corps utilisés comme référence sont le benzène ($\xi = 2,29$) et le dichlore-éthane ($\xi = 10,4$), ce qui permet de tenir compte de l'effet de bord.

Toutes ces cellules sont de type coaxial et réalisées en laiton. Le tableau ci-après en donne les caractéristiques.

Cellules	N° 1	N°2	N°3	N° 4
Capacité active C _a pF	21,90	9,10	3,80	5,50
Capacité résiduelle C _o pF	6,80	5,50	1,50	2,30

b) Résultats

Les paramètres définissant le signal d'excitation ont été fixés comme suit :

Largeur : 1,5µ sec.

amplitude: 1,9 V

fréquence de récurrence : 50kHz

temps de montée: 0,02µsec (indépendant des autres paramètres).

Les différentes variables C_1 , R_1 , G_1 et \bigvee_l ont été déterminées pour des massifs de sable calibré 315-400 μ dont la saturation en eau S_w avait été déterminée auparavant.

Remarque:

La détermination de la saturation en eau d'un massif de sable peut être connue simplement par pesée :

Pour une cellule de volume V, remplie d'un sable de saturation S_{W}

$$S_{w} = \frac{I}{\Phi}$$
 $p = \frac{I}{\Phi}$ $\frac{Ve}{V}$

V étant le volume de l'eau contanue dans les pores.

En appelant d la densité du sable , P_s le poids du sable contenu dans la cellule et F_e le poids d'eau :

$$V = P_s/d$$

$$V_e = P_e$$

$$S_w = \frac{d}{\Phi} - \frac{P_e}{P_s}$$
Pour le sable calibré 315-400 utilisé : $\frac{d}{\Phi} \# 5$

$$S_w \# 5 - \frac{P_e}{P_s}$$

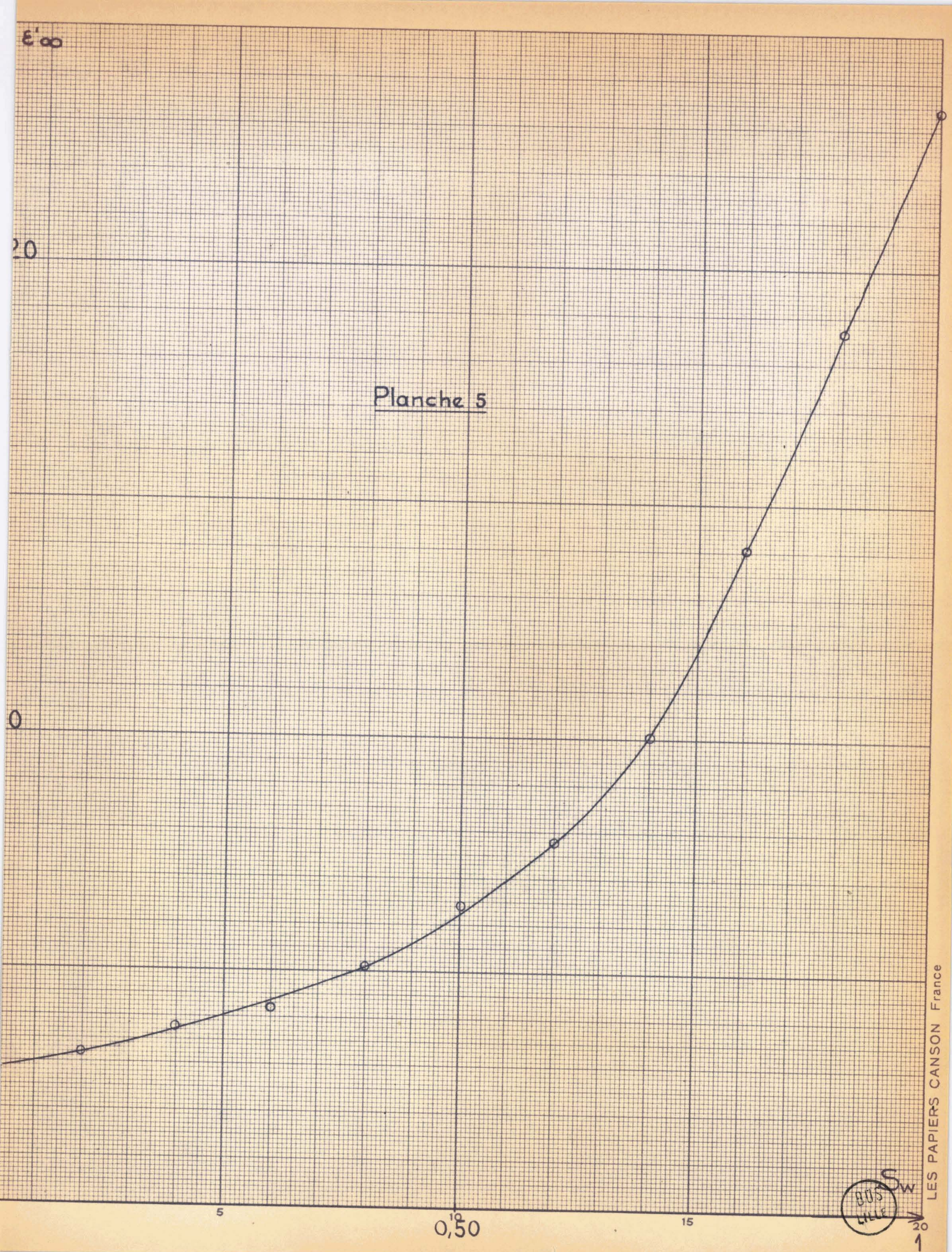
Pour des saturations allant de 0 à I, nous avons ainsi déterminé les paramètres \mathcal{E}_{∞} , $\Delta \mathcal{E}_{c}$, \mathcal{E}_{c} et f_{c} . Les courbes représentatives de ces paramètres sont données aux planches (5) (6) et (7).

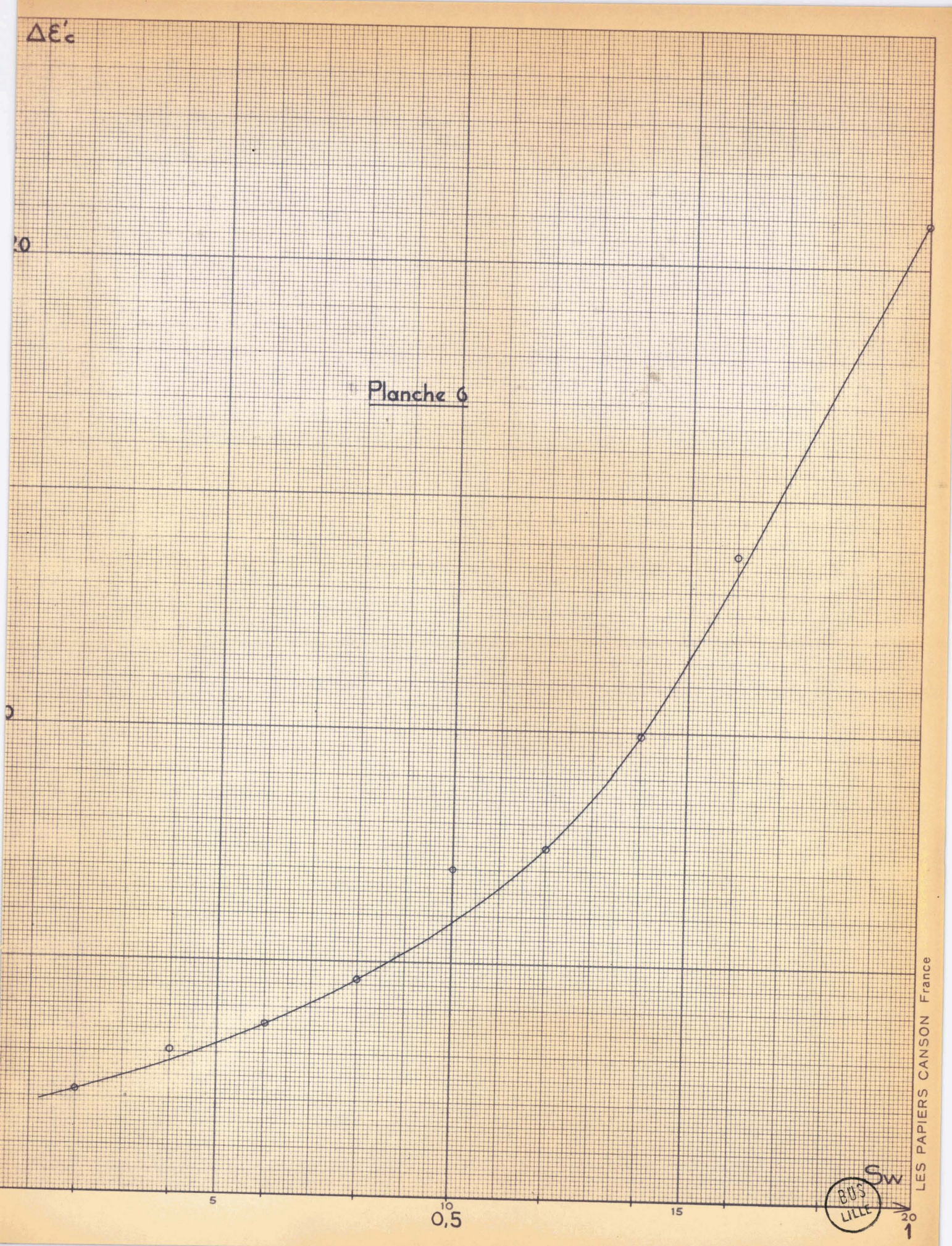
Les points portés sont obtenus en faisant la moyenne des résultats de trois mesures, car il est difficile de réaliser des saturations homogènes et de remplir les cellules d'une façon reproductible.

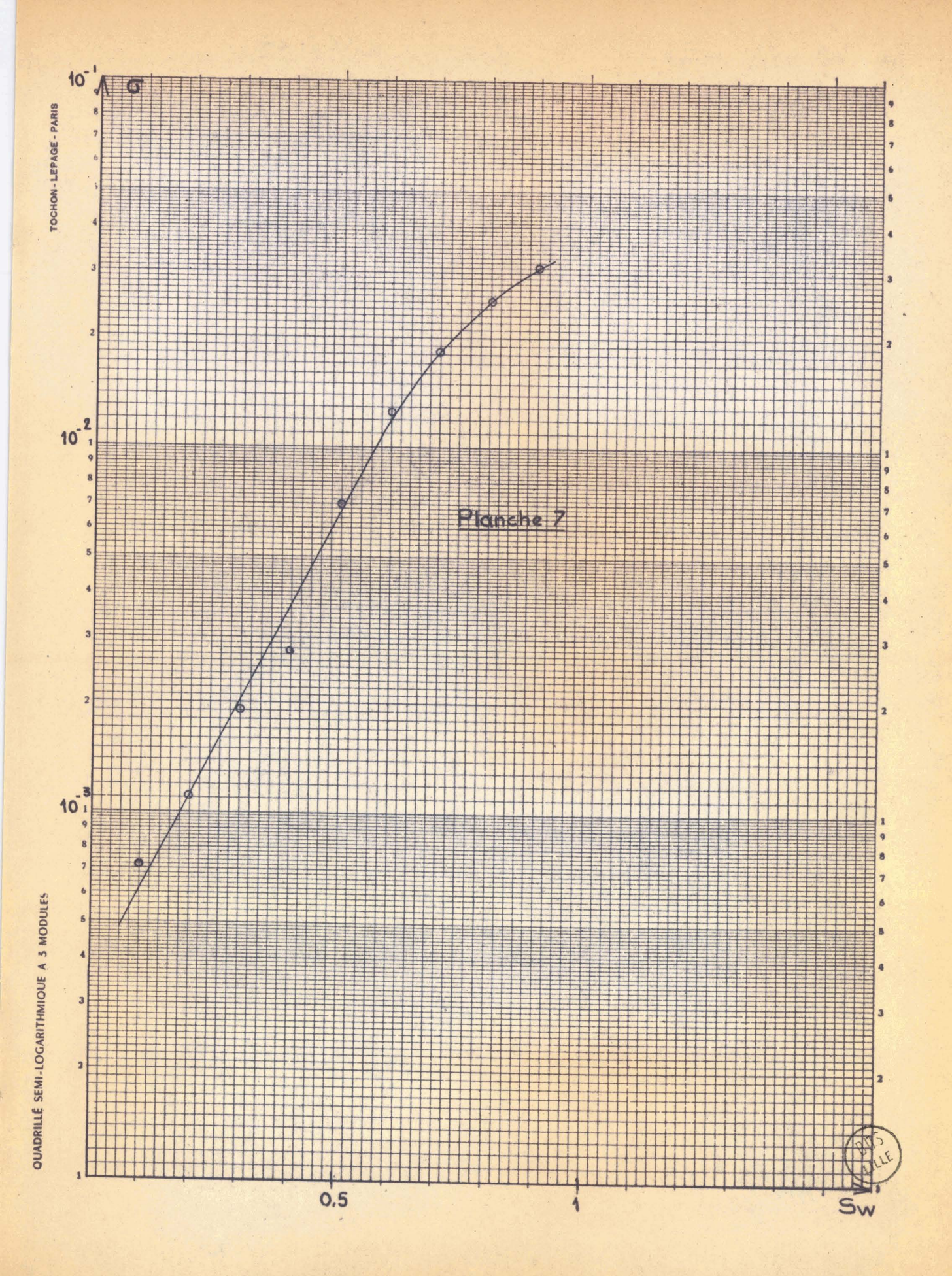
La fréquence critique f_c , comme le laissait prévoir la théorie ne varie guère : elle reste pratiquement au voisinage de 4 MHz. Les variations observées sont assez faibles, mais montrent quand même que f_c se déplace vers les hautes fréquences quand la saturation croît.

Cette valeur légèrement supérieure à la fréquence de 2,5MHz prévue par la théorie est due simplement au fait que l'eau utilisée contenait certainement des ions (chlore), augmentant ainsi la conductibilité $\sqrt{2}$

Cependant la fréquence f_c est suffisamment basse pour que le terme $\frac{f_c}{f_o}$ soit $\langle\langle$ I, condition nécessaire pour que la détermination de ξ_o puisse se faire avec précision.







TITE TITE TITE	TAB	LEAU	DES	MESU	IRES
----------------	-----	------	-----	------	------

s_{w}	€∞	۵٤'د	10 ² (cellules
0	2,7	0	0	1
0,1	3,1	2,1	0,07	1
0,2	3,9	3,1	0,1	1
0,3	4,1	3,6	0,2	1
0,4	5,1	4,6	0,3	1
0,5	7	7,7	0,7	2 et 4
0,6	7,5	7,3	1,3	2 et 4
0,7	10	9,9	1,8	3
0;8	14	13,9	2,5	3
0,9	18,7	17	2,9	3
1	23,5	20,8	3, 1	3

c) Essai d'interprétation

- Variations de €∞

La courbe représentative des variations de €∞(planche 5) montre que cette variable suit à peu près la loi théorique exprimée par la formule (III-4), si la saturation en eau ne dépasse pas 50%.

$$\varepsilon_{\infty} = \varepsilon_{1} \left[1 + (F+1) p \frac{\varepsilon_{2} - \varepsilon_{1}}{F \varepsilon_{1} + \varepsilon_{2}} \right]$$
 (III - 4-)

Passé cette valeur, la croissance beaucoup plus rapide montre que la forme et la répartition des particules conductrices dans la phase continue sont alors beaucoup plus complexes que nous l'avons supposé.

Cependant le problème que nous nous étions posé était moins la vérification des formules théoriques proposées (bien établies par ailleurs réf. 3 à 6), que la détermination des saturations.

Si on mesure le paramètre ξωd'un massif de sable (315-400μ) on peut déterminer directement sa saturation en eau en se reportant à la courbe tracée précédemment.

L'erreur commise sur la détermination de & étant 5%, on a un moyen rapide et précis pour déterminer une saturation, et cela sans détruire ni altérer le massif considéré.

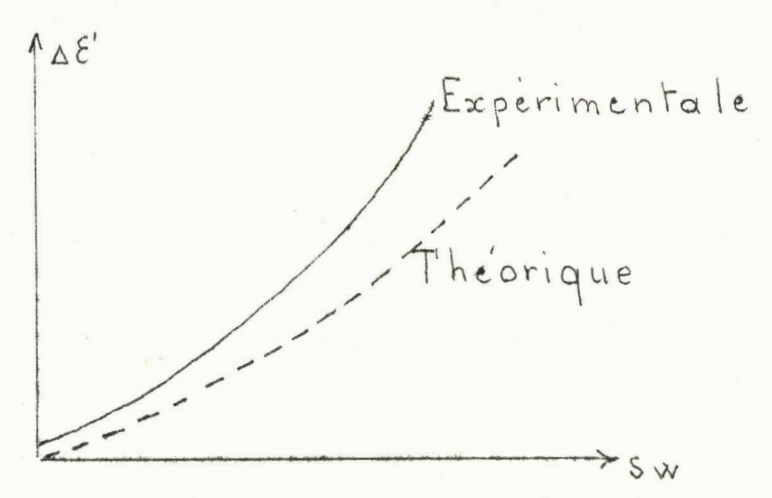
- Variations de Δ ξ c

La fréquence critique f_c restant pratiquement constante comme nous l'avons vu, $\Delta \dot{\xi_c} = \dot{\xi_c} - \dot{\xi_d}$, comme le montre la planche (6), suit une loi à peu près rarabolique.

Néanmoins, on s'aperçoit qu'elle ne passe pas par l'origine comme elle le devrait.

Si on trace sur un même graphique, les courbes théoriques et expérimentales des variations de $\Delta \, \xi_{\zeta}$ en fonction de S_{W} , on constate que les paraboles théoriques se trouvent en dessous des courbes expérimentales (3).

Pour les courbes théoriques, les coefficients a et b de la relation $\Delta E' = a S_w + b S_w^2$ sont du même ordre de grandeur, tandis que pour les courbes expérimentales, le coefficient b est nettement supérieur au coefficient a.



Ceci vient confirmer le fait déjà observé (variation de €∞), qu'il se produit une interaction entre les particules conductrices (formation de filets d'eau).

- Variation de J

La méthode présentée ici posséde sur les méthodes classiques, utilisant un signal d'excitation sinusofdal, l'avantage de pouvoir différencier directement la conductance G due aux porteurs libres, de la conductance G due aux pertes de relaxation ou à des effets de paroi (remarque page 39)

Or, la connaissance de $\sqrt{}$ est une information très intéressante. La courbe (7) montre en effet que la plage de variation est d'une étendue susceptible de donner une assez grande précision sur la détermination de S_W , d'autant plur que $\sqrt{}$ est connue à mieux de 5% près.

Jusqu'à la saturation de 0,6, la variation est linéaire, ce qui montre que jusqu'à cette valeur de la saturation, la répartition des particules conductrices varie peu (ce qui est en accord avec les informations données par l'observation des courbes précédentes.) Passé cette valeur, la croissance est beaucoup moins rapide, la conductibilité tend vers la valeur $\sqrt{\ }_0$ correspondant à la saturation, d'une manière presque asymtotique.

Ce fait, et la valeur relativement élevée de la conductibilité dès les faibles saturations tendent à montrer que :

- a) dès les faibles saturations il y a formation de filets d'eau
- b) la forme de ces filets varie peu avec la saturation.

Remarque:

Il convient de noter ici que par le principe même de la méthode que nous crons utilisée, il est une difficulté qui a pu être évitée : le phénomène de polarisation des électrodes qui se produit aux basses fréquences, en régime sinusoidal.

Comme le temps de relaxation $\zeta = \frac{I}{2\pi f_C}$ est relativement bref, la largeur des impulsions utilisées était telle que cette polarisation n'avait pas le temps de se produire ; il est équivalent de dire que la f.e.m. qui prenait naissance pendant ce temps n'atteignait qu'une valeur négligeable par rapport à l'amplitude E_O du signal.

La conductibilité mesurée était bien la conductibilité récîle (due aux porteurs libres). Ce fait a été vérifié de la manière suivante : on mesurait la conductance G,

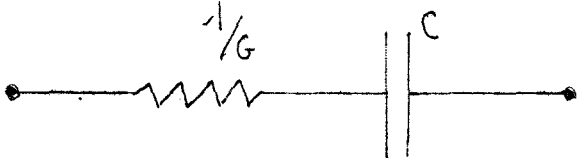
- d'une part par notre méthode
- d'autre part en régime sinusoidal, à une fréquence suffisamment élevée (20MHz, pont I.R. 20) pour que la polarisation des électrodes soit négligeable.

Les valeurs trouvées étant les mêmes, notre hypothése est vérifiée.

Malgré tout, on peut se rendre compte très facilement du phénomène de polarisation des électrodes : il suffit de prendre une impulsion de largeur suffisante.

L'équilibre en conductance n'est alors plus réalisable et à l'oscilloscope on observe une tension résiduelle de déséquilibre. L'observation de ce signal permet de donner une interprétation qui rend à peu près compte du phènomène.

La conductance G semble être en série avec une capacité C de très forte valeur.



Tant que la largeur de l'impulsion est $\langle\!\langle \frac{C}{G} \rangle\!\rangle$, la capacité est pratiquement équivalente à un court circuit. Mais dès que cette condition n'est plus remplie, la constante de temps $\frac{C}{G}$ apparait nettement.

On a donc mis le phénomène de polarisation des électrodes en évidence. Cependant, dans les conditions où nous avons effectué nos mesures, celui-ci ne nous a pas géné.

3°) CONCLUSION

Nous avons montré que pour un diélectrique possédant un seul domaine de relaxation de type Debye (non distribué) et une conductance initiale (porteurs libres), il est possible de déterminer directement les paramètres : conductibilité \checkmark , parmittivité infinie १, amplitude et fréquence critique du domaine.

Les difficultés rencontrées ont en partie été résolues, mais il faut améliorer :

- les étalons et surtout les étalons de résistance qui n'offrent pas encore une sécurité suffisante pour des mesures de précision.
- la fréquence f_o, définissant le point ∞, qui est trop faible. Il faudrait porter cette fréquence à 100MHz, pour balayer toute la gamme où les circuits à constantes localisées sont encore utilisables.

Il n'est pas impossible par ailleurs de concevoir un appareillage basé sur le même principe et qui permettrait d'étudier des dièlectriques à deux et même plusieurs domaines de relaxation. Le problème est simplement celui de la réalisation du circuit équivalent correct.

Cette méthode de mesure des dièlectriques par impulsion s'avère donc comme le montrent nos premiers résultats pleine de possibilités et de promesses pour l'avenir.

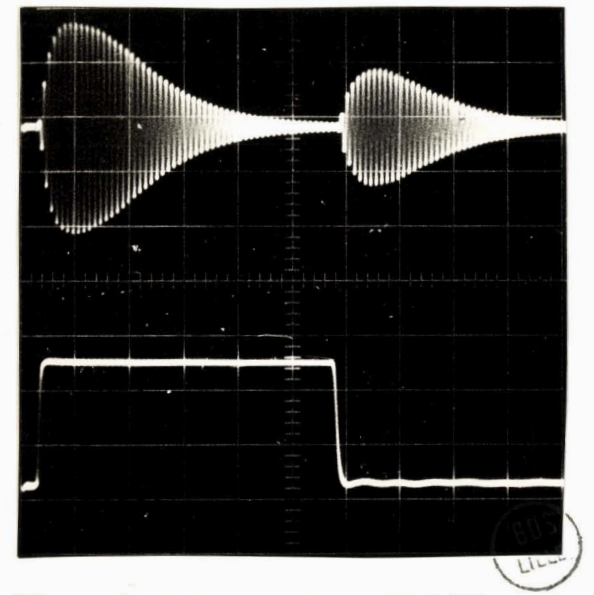


Photo 1 - Harmonique 27 MHz



Photo 2 - Les cellules

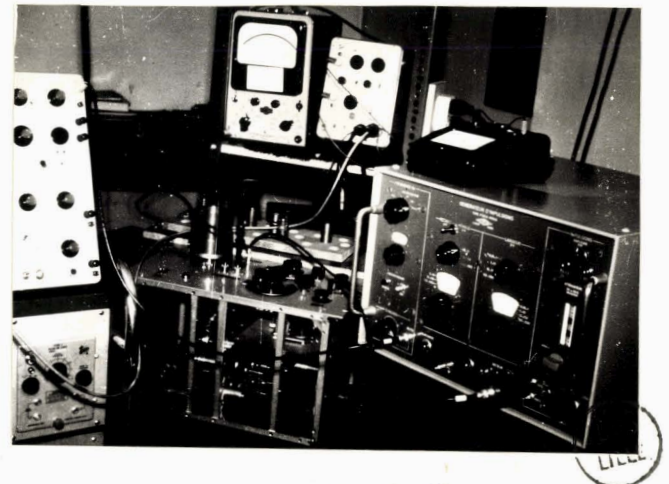


Photo 3 - Ensemble de l'appareillage

BIBLIOGRAPHIE

- (I) CONSTANT E. 1962, Thèse Doctorat Sciences Physiques, Lille
- (2) VON HIPPEL A.R., 1954, Dielectric and waves
- (3) SIMANDOUX P., 1962, Rapp. Inst. Français Pét. Réf: 7 198
- (4) SIMANDOUX P., 1963, Rapp. Inst. Français Pét. Réf; 8 280
- (5) SIMANDOUX P., 1962, Rapp. Inst. Français Pét. Réf; 7 596
- (6) SIMANDOUX P., 1963, Thèse Ingénieur Docteur Lille
- (7) LEBRUN A., 1958, VII° Colloque Ampère, Fasc . Spéc. Arch. Sci. de Genève II, 18-21.
- (8) SENEZ J., 1960, Diplôme d'Etudes Supérieures Lille
- (9) PARODIE M., 1948, Applications Phys. de la Transf. de Laplace

TABLE DES MATIERES

INTRODUCTION	1
I - METHODE DE DETERMINATION DES PARAMETRES	
CARACTERISTIQUES D'UN DIELECTRIQUE	
1) Schéma électrique équivalent à un dièlectrique	3
2) Détermination expérimentale du dipôle équivalent	5
3) Etude théorique de la réponce: du comparateur	8
a) Mise en équ ation	9
b) Décomposition en élèments simples	10
c) Valeurs particulières de Δ v(t)	11
4) Application à la détermination de l'équilibre	14
II - REALISATION EXPERIMENTALE	
1) Comparateur à large bande	18
2) Séparateur différentiel accordé	19
3) Amplificateur accordé	21
4) Impédance étalon	22
5) Précision	26
III - UTILISATION DU COMPARATEUR FOUR L'ETUDE DES	
PROPRIETES ELECTRIQUES DES MELANGES DE SABLE	
ET D'EAU.	
1) Rappels sur le phénomène d'hétérogénéité	29
2) Mesures et résultats	33
a) Les cellules	33
b) Résultats	34
c) Essai d'interprétation	36
3) Conclusion	40
PHOTOS Saction S	42
BIBLIOGRAPHIE SCIENCES TO	43

SECDND SUJET

RECENTS PROGRES DANS L'AMPLIFICATION A LARGE BANDE.

Présenté à LILLE le 28 Juin 1963 devant la Commission d'Examen.



Vu et permis d'imprimer

Lille le 13.2.1964

Le Recteur de l'Académie

de Lille

G. DEBEYRE

Vu et approuvé

Lille le 10-2-1464

Le Doyen de la Faculté

des Sciences de Lille

M. PARREAU